

ILC加速器と超伝導加速器技術

山本 明
KEK & ILC-GDE

@ 京都大学, 2012-2-28

世界の加速器の進展と 5大加速器研究所

世界最高エネルギー・最高強度の電子・陽電子コライダ
国際協力で建設を計画中

SLAC@スタンフォード

PEP-II(B-Factory)終了
>> 放射光施設へ

KEK@つくば・東海村 (JAEAと共同)

KEKB,J-PARC
強度フロンティア
超伝導加速器開発

1989

リニアコライダーILC

2009 LHC

SLC

HERA

テバトロン

トリスタン

陽子シンクロトロン

1950 電子シンクロトロン

1940 シンクロサイクロトロン

ベータトロン

1930 サイクロトロン

静電型加速器

LHC
陽子 最高エネルギー



Chicago

FNAL@シカゴ

Booster

TEVATRON 終了
2010秋
超伝導加速器開発
大強度陽子、他へ

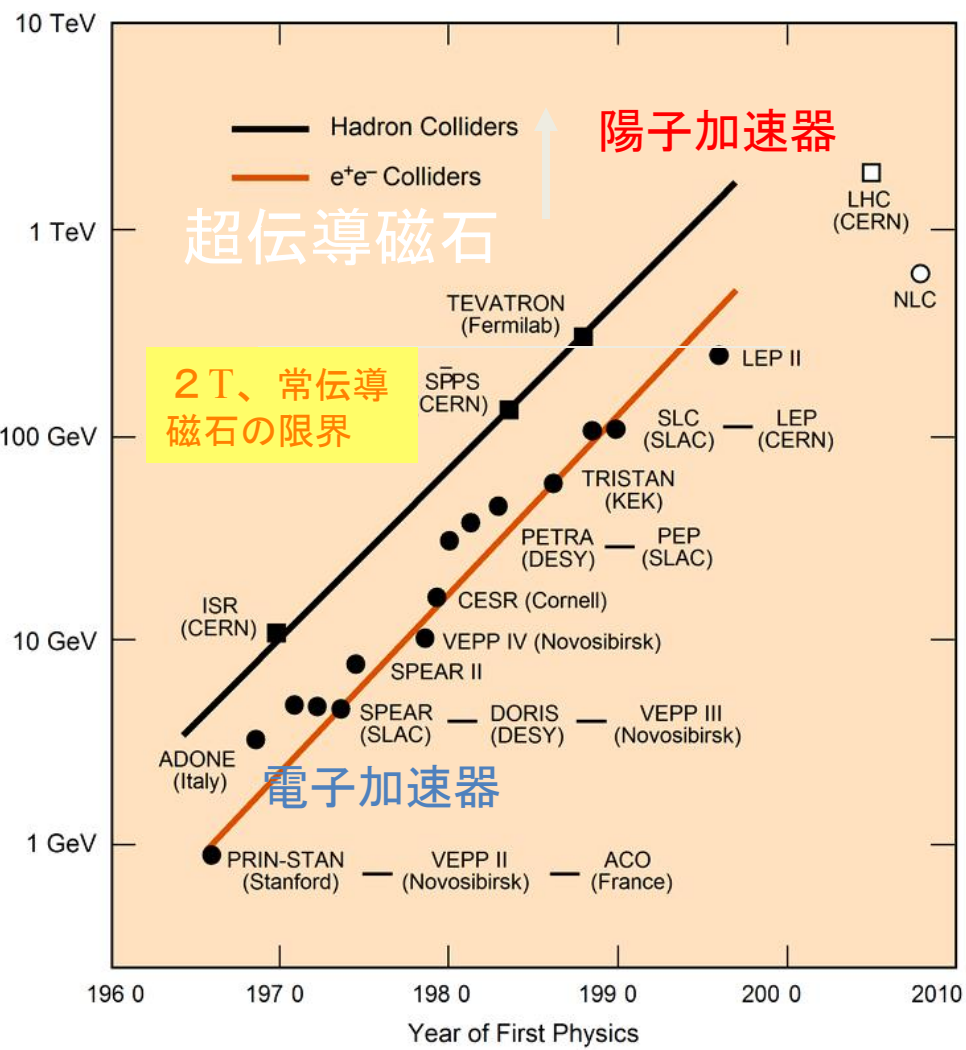


HERA(電子・陽子)終了
>> 放射光施設へ
(超伝導加速器)

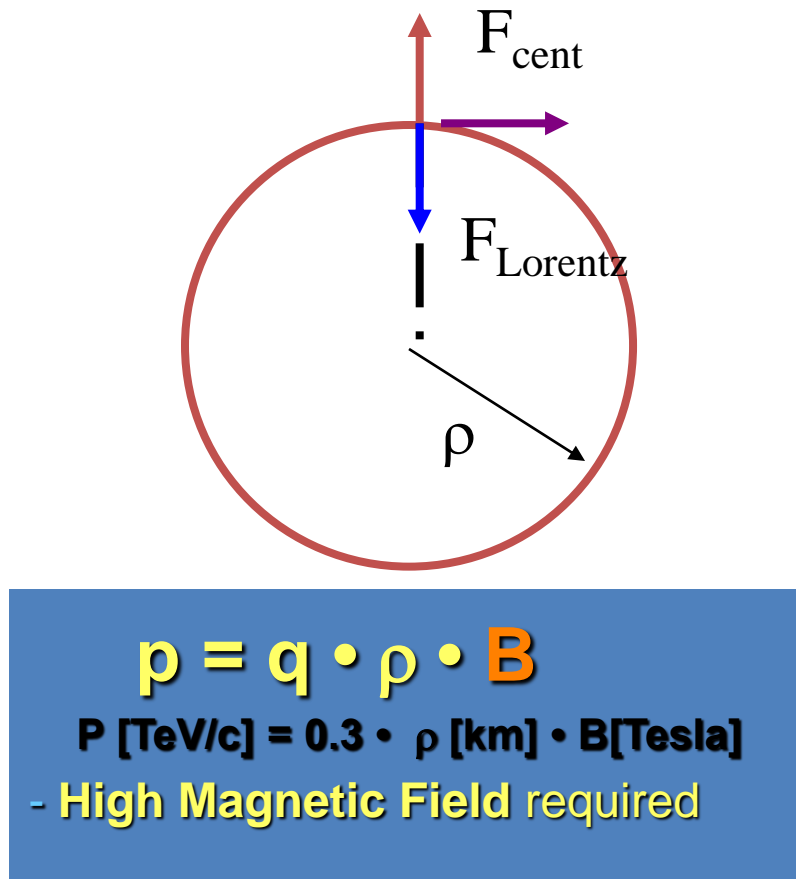
ILC Accelerator

PETRA

粒子加速器エネルギーの進展



- 高エネルギー加速器では超伝導技術が不可欠



粒子加速器のエネルギー フロンティアを担う

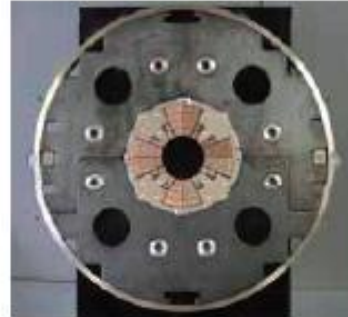
超伝導技術

加速器に使われる超伝導技術

超伝導磁石:

強いDC磁場: 加速粒子の軌道を曲げる

偏向磁石、収束磁石、測定器ソレノイドなど



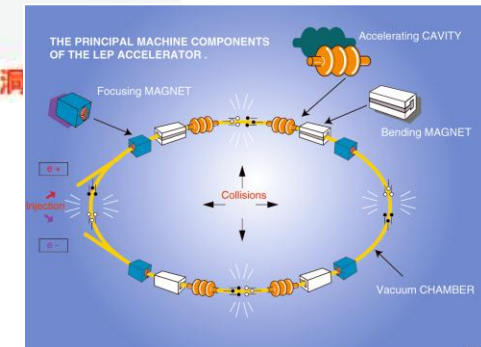
超伝導高周波空洞:

空洞共振器が作る高周波電磁場:

粒子に電圧を与える唯一の装置

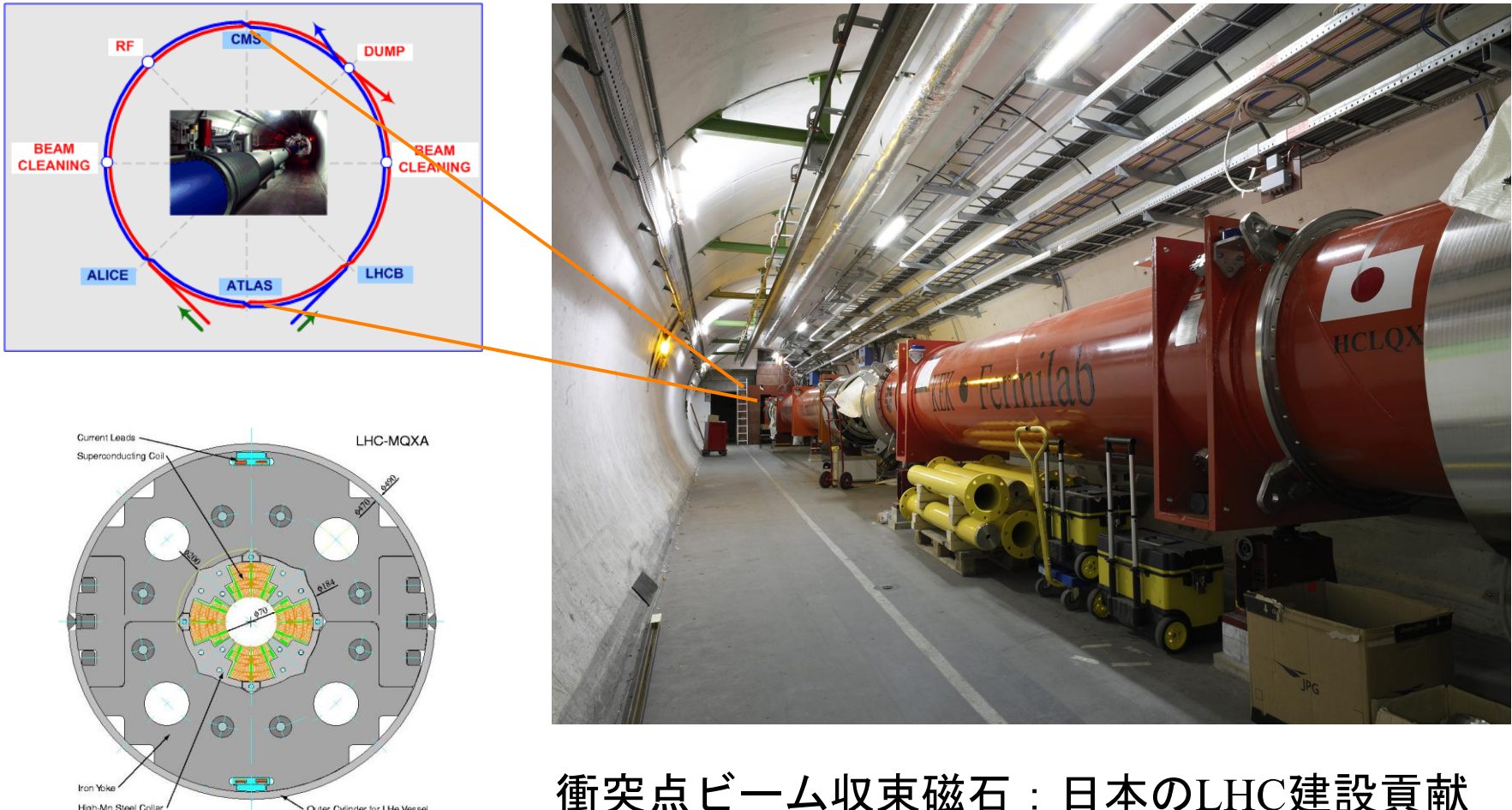
加速空洞、クラブ空洞、

高周波セパレーターなど



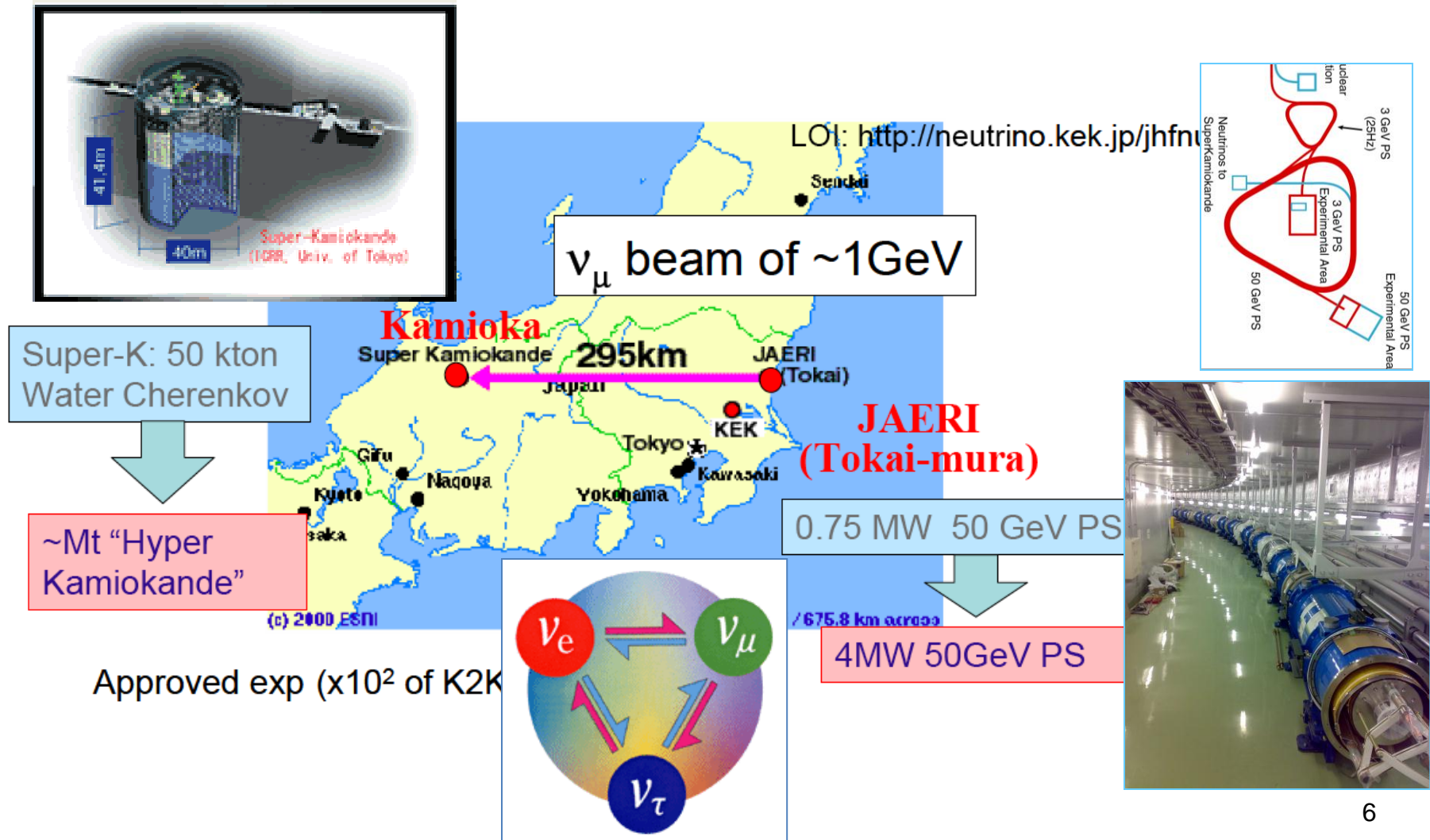
- 先端加速器の鍵を握る基盤技術

CERN-LHC ビーム衝突点収束磁石 KEK-Fermilab Collaboration



衝突点ビーム収束磁石：日本のLHC建設貢献
日(KEK)、米(Fermilab)間の国際協力
ILC Accelerator

J-PARC ニュートリノ振動実験 超伝導一次陽子ビームライン・ (2009~)

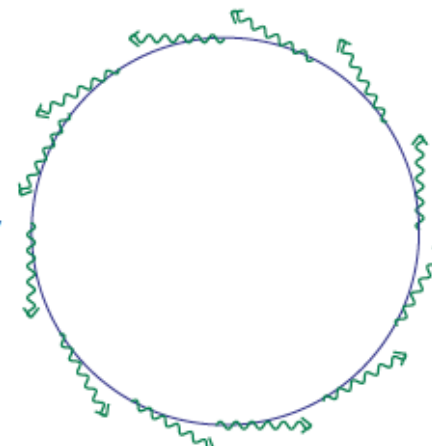


円形コライダーの限界、 リニアコライダーへの展開

- エネルギー増加は年代に対して指数関数的
- しかし、1980年頃を境にしてエネルギー増加がゆるやかになる
- 高エネルギー電子は円軌道上でシンクロトロン輻射を出してエネルギーを失う
- 一周のエネルギー損失

$$\frac{(\text{エネルギー})^4}{(\text{軌道半径})}$$

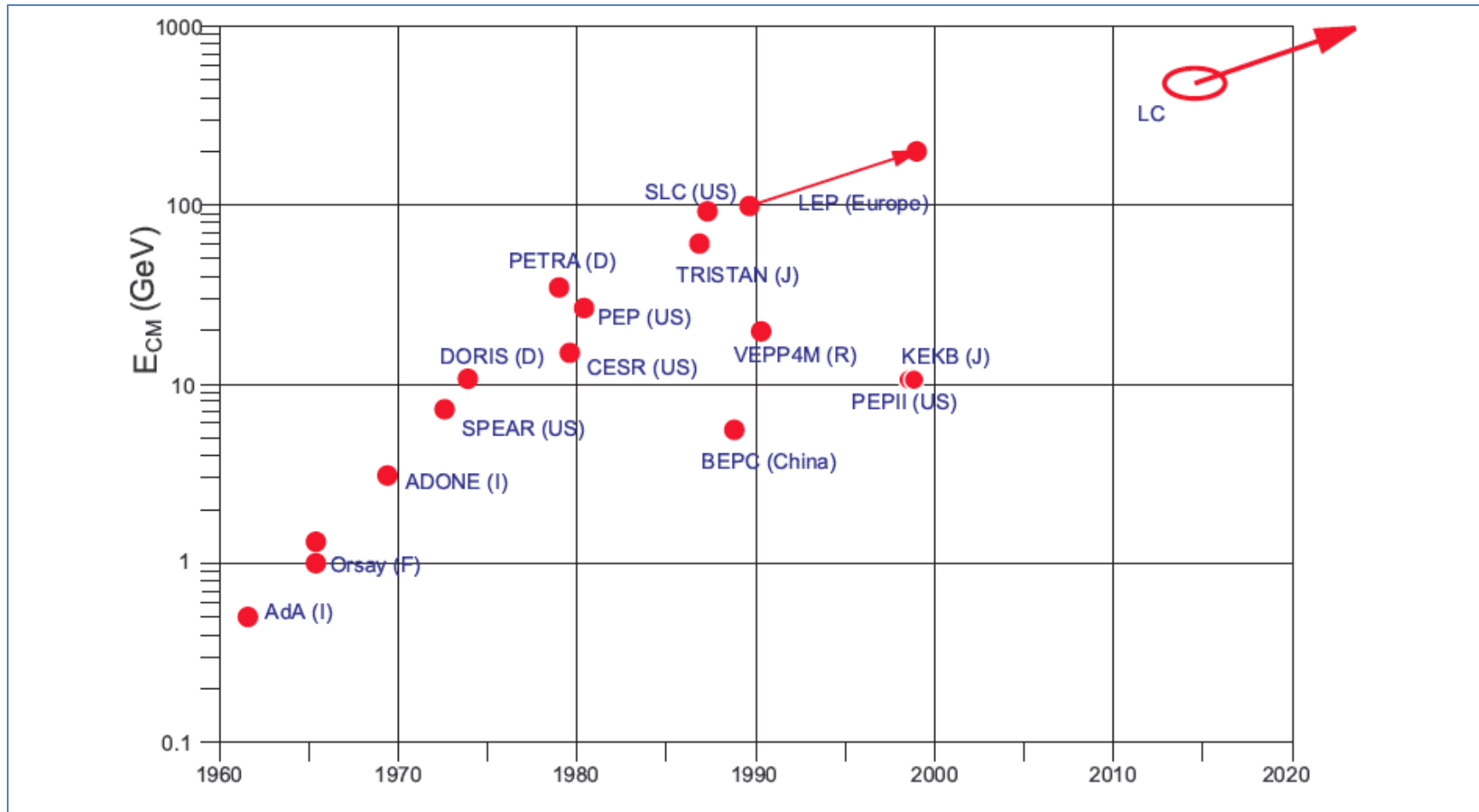
- 最大の e^+e^- Collider LEP (CERN) は約 200GeV を達成
- しかし、LEP はすでに一周 27km、より高いエネルギーは不可能



⇒ 直線的 Collider



e+e-コライダーの歴史

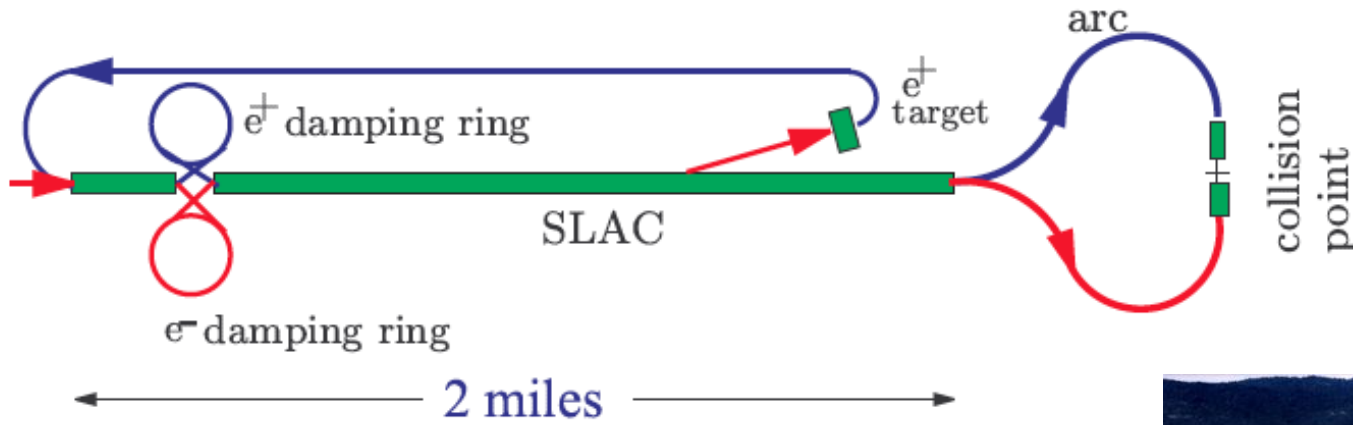


リニアコライダーへの道

Single pass ⇒ 技術的にむずかしい

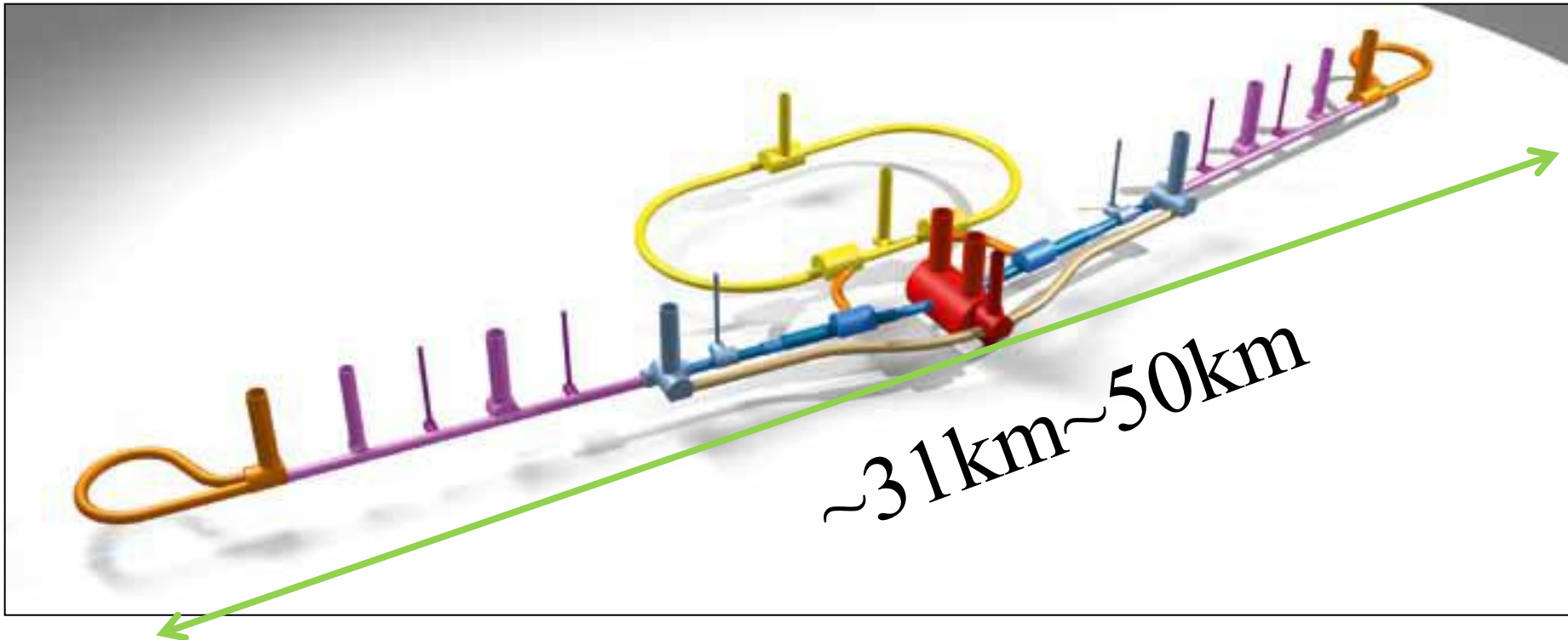
- 各粒子を1度しか加速しないので、単位長さあたりの加速（加速勾配）が大きくなる
 - いろいろな加速方式（レーザー、プラズマ、など）が考案されたが
 - 結局（少なくとも次世代までは）今までの方式しか現実的でない
- 各粒子が1度しか衝突に参加しないので、ルミノシティを上げるためには、衝突時のビームサイズを極端に小さくする必要がある
 - リングの場合は何回も回る間に衝突する

The first HE e+e- Linear Collider : SLC at SLAC (1988~)



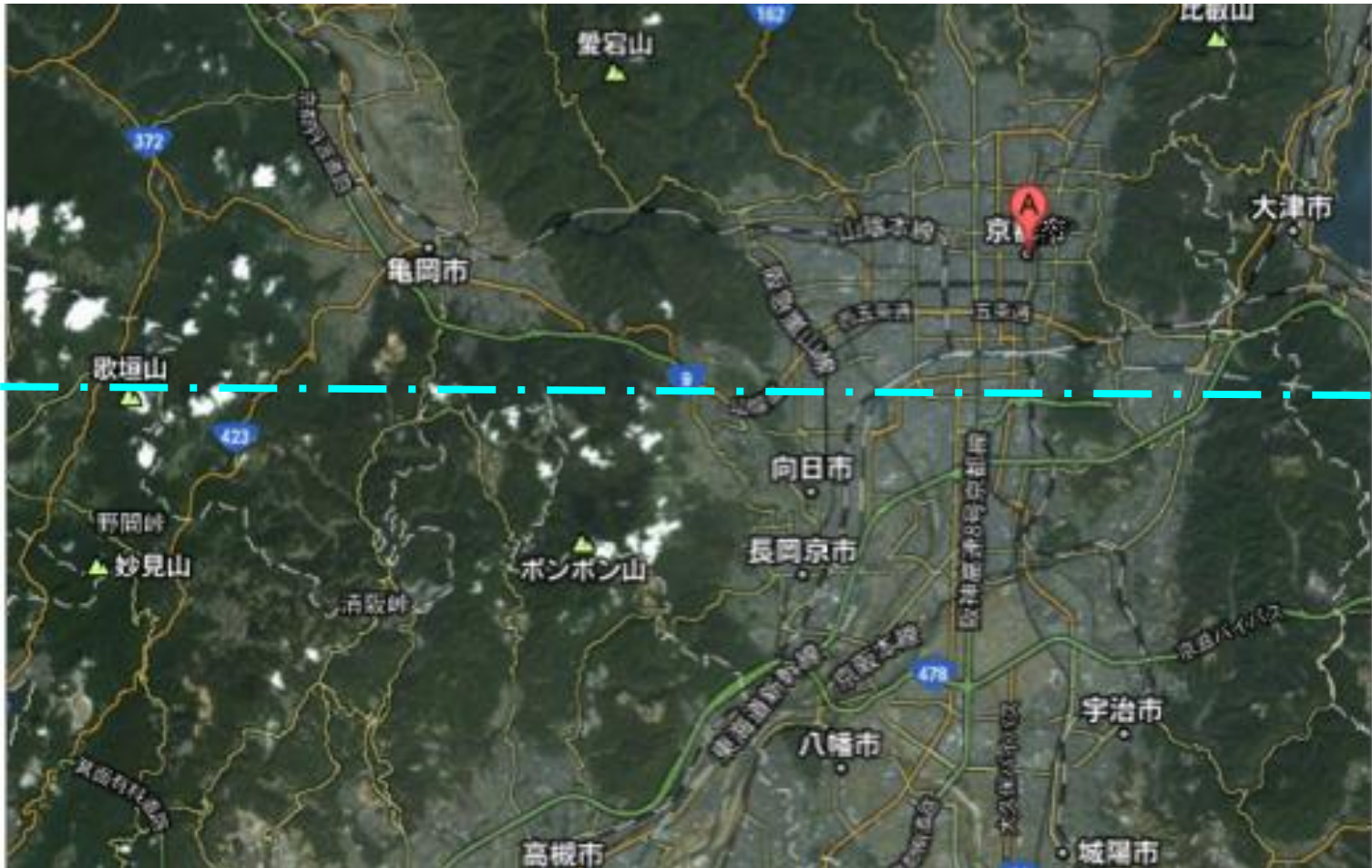
- Linac は 1 本のみ
- 加速後曲線軌道を通して衝突させる
- $50 + 50 = 100 \text{ GeV}$ 程度までならこれで可能
- Z^0 の高い断面積のおかげで物理になった
- これ以上のエネルギーでは曲線部での synchrotron 輻射が無視できない

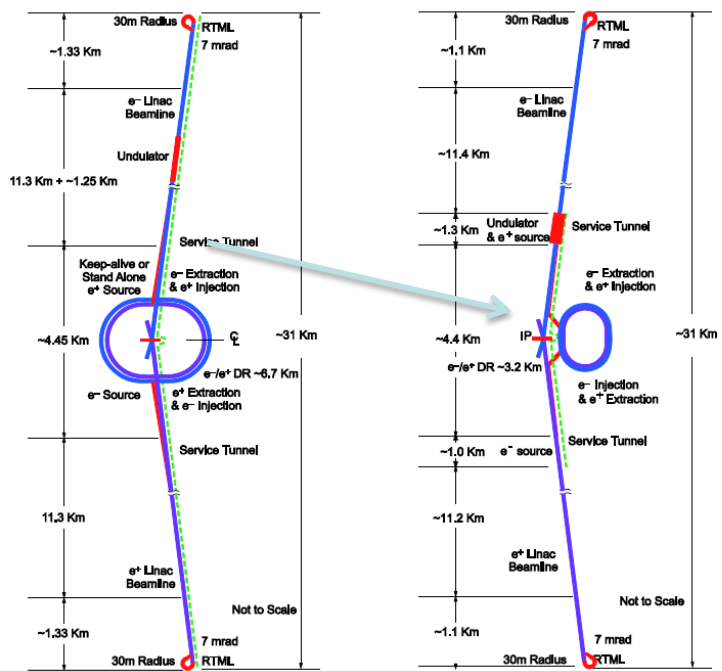
国際リニアコライダー International Linear Collider (ILC)



第一期 $\sim 250\text{GeV} \sim 500\text{GeV}$ (全長約31km)
第二期 $\sim 1\text{TeV}$ (全長50km)

ILC scale in Kyoto





『性能／コスト』の最適化

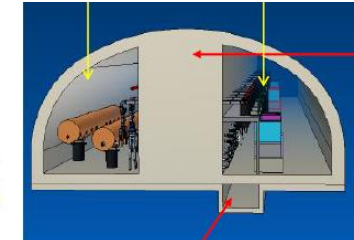
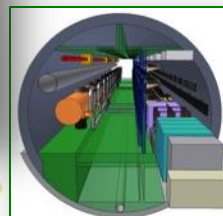
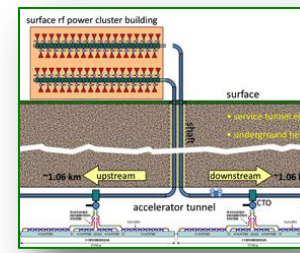
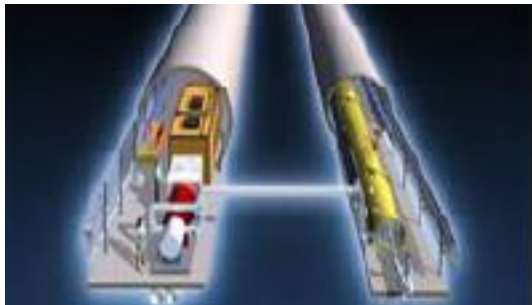
- シングルトンネル化
- ダンピングリング 小型化
- 陽電子生成標的@中央部
- 空洞電界分布: 31.5MV/m +/-20 %
- クライストロン配置: 集中／分散
→ 効率的な加速器設計

RDR2007



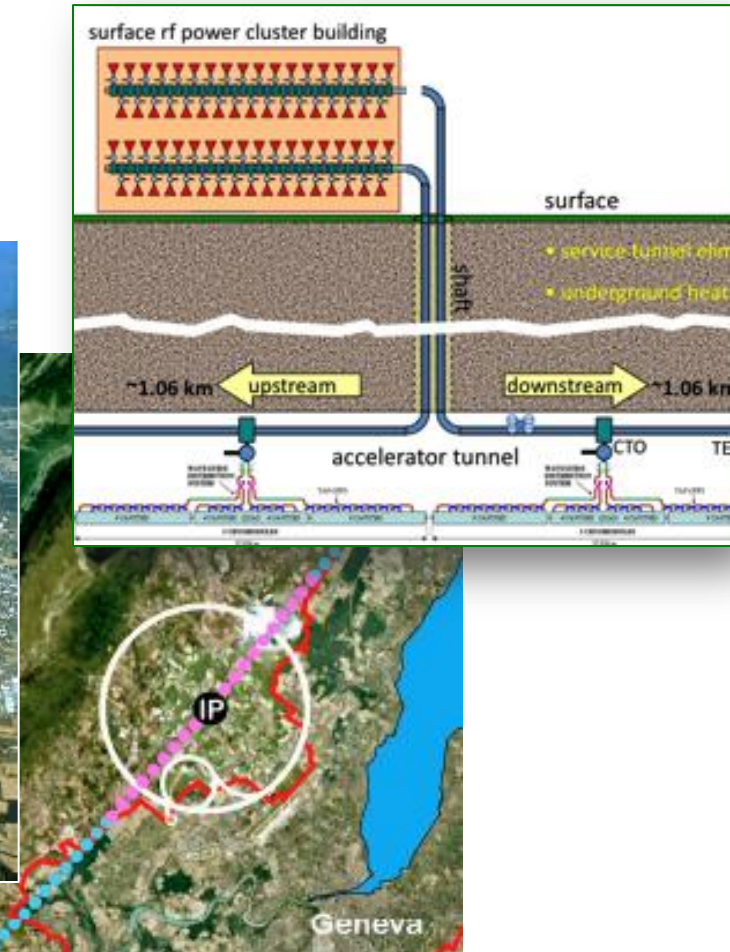
SB2009

→ TDR w/ mountain site



平坦地でのトンネル構成(案)

クライストロンクラスター方式



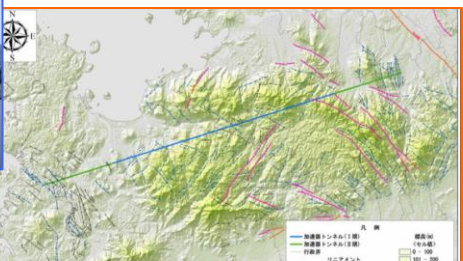
- Japanese Mountainous Sites -



SEFURI



KYUSHU district



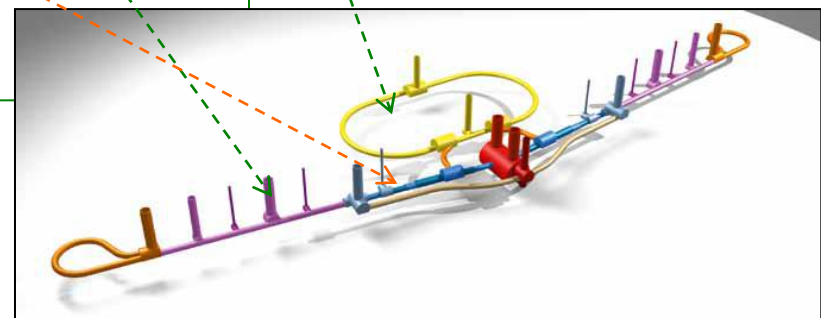
九州、東北両地域での大学、自治体の皆様による地質調査へのご協力に感謝。

Site-A KITAKAMI



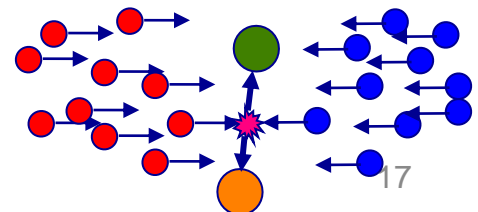
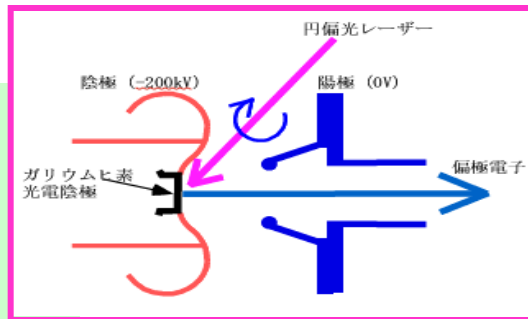
ILC の構成

5GeV Linac	電子・陽電子の前段加速器
DR	減衰リング（エミッタスの小さいビームを作る） 周の長さ 6.6km、全部で3つのリング
SR	Spin Rotator (Spin の向きを調整する)
BC	バンチ長圧縮器（バンチ長を短くする） 長さ各 1.4km
Undulator	アンジュレータ（電子を使って陽電子を生成する） 前後を含めて 1.2km
ML	Main Linac (加速) 各 11km (500GeV)、20km (1TeV)
BDS	Beam Delivery Section (コリメータ、最終収束) 合計 5.5km
IP	Interaction Point (衝突点)



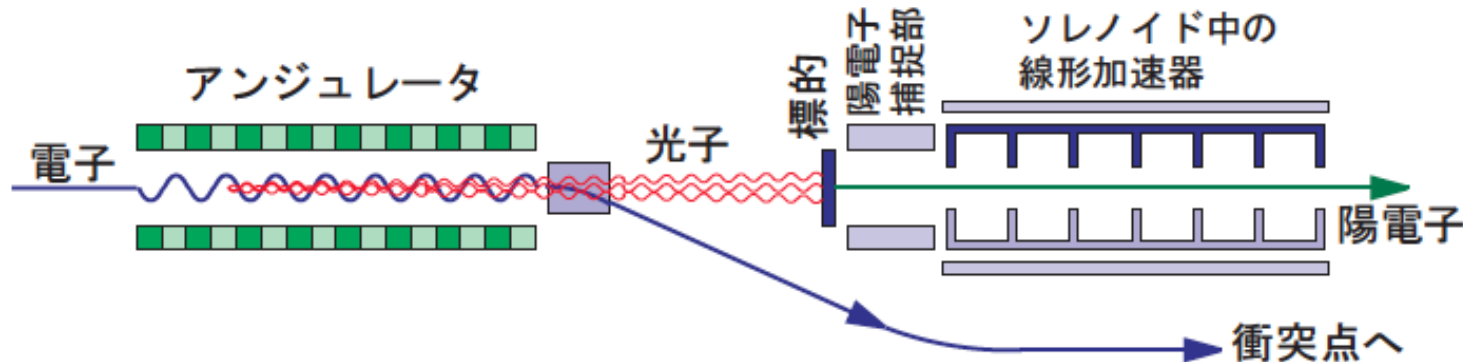
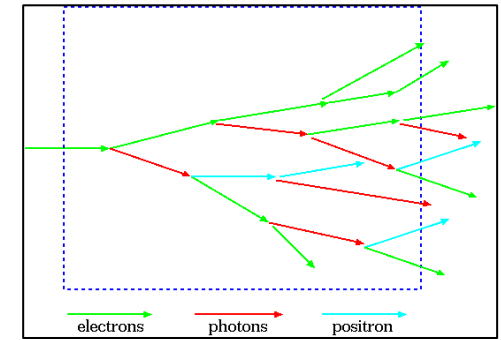
リニアコライダーのキー技術ノロジー 100億個の電子と陽電子の塊(バンチ)を

- 生成する
 - 偏極電子, (偏極)陽電子
- 加速する
 - 超伝導加速空洞による高電界加速
- 衝突させる
 - ナノメートルビームの生成・制御

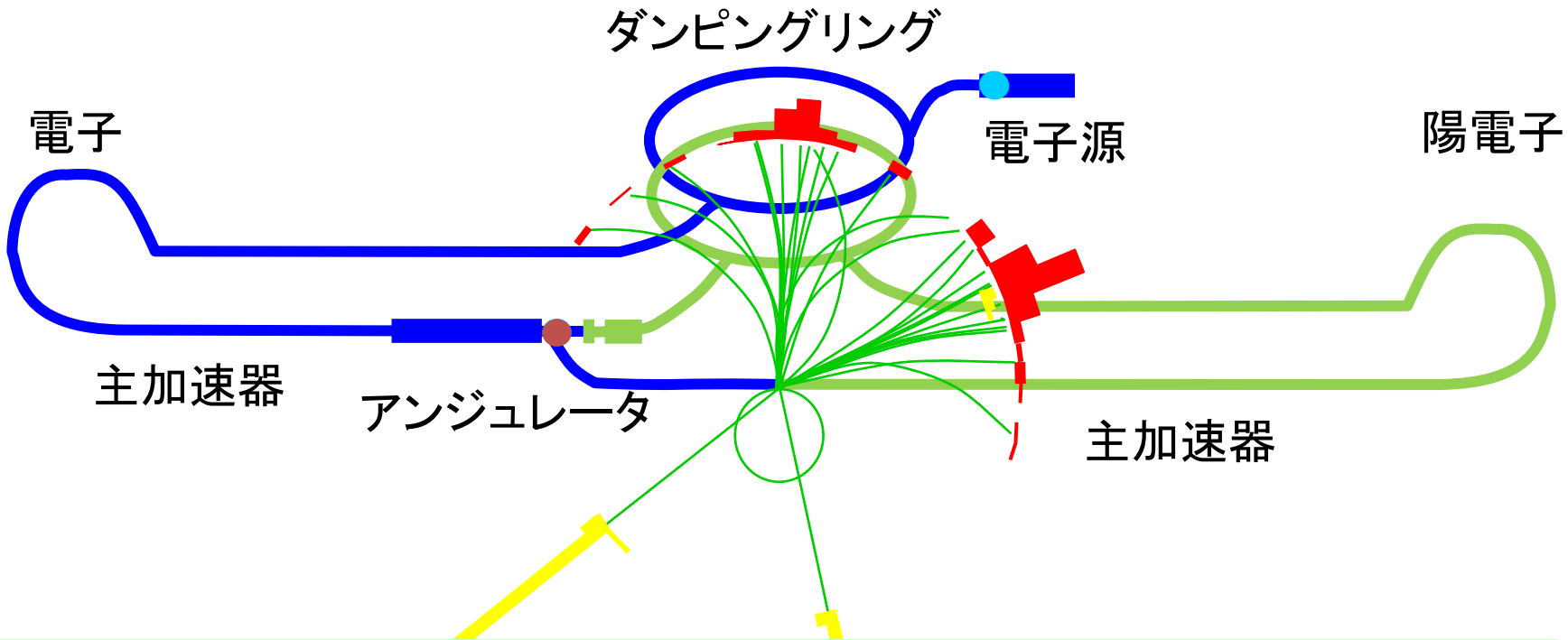


陽電子の発生

- 高エネルギー電子 ($\gtrsim 100\text{GeV}$) を蛇行させる (アンジュレータ磁石)
- 電子が数 10MeV の光子を発生する。
- 光子を標的にあてる。
- 発生した陽電子を回収して加速する。
- ヘリカルアンジュレータを使えば偏極陽電子が得られる。
- この方式はまだ実用されたことがない。
- 電子側が運転されていない時は、陽電子の **tuning** ができない



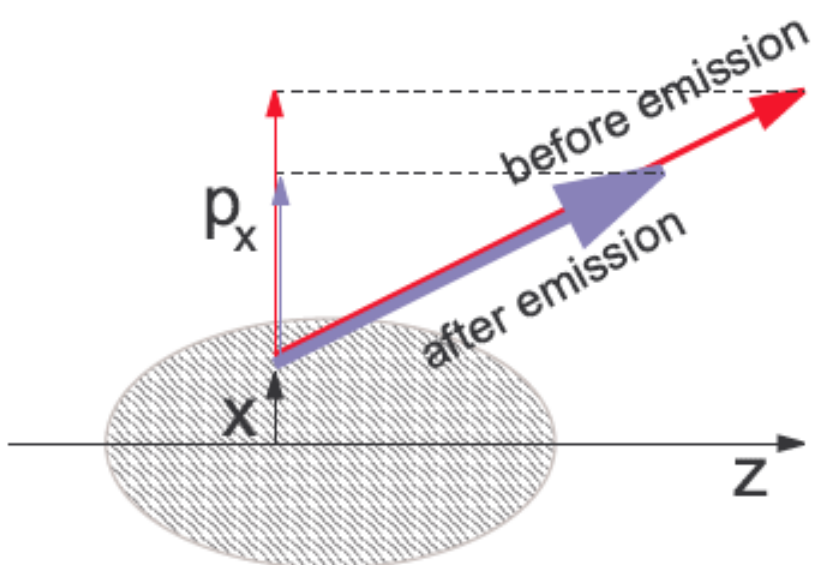
ILC Positron Source(アンジュレーター方式)



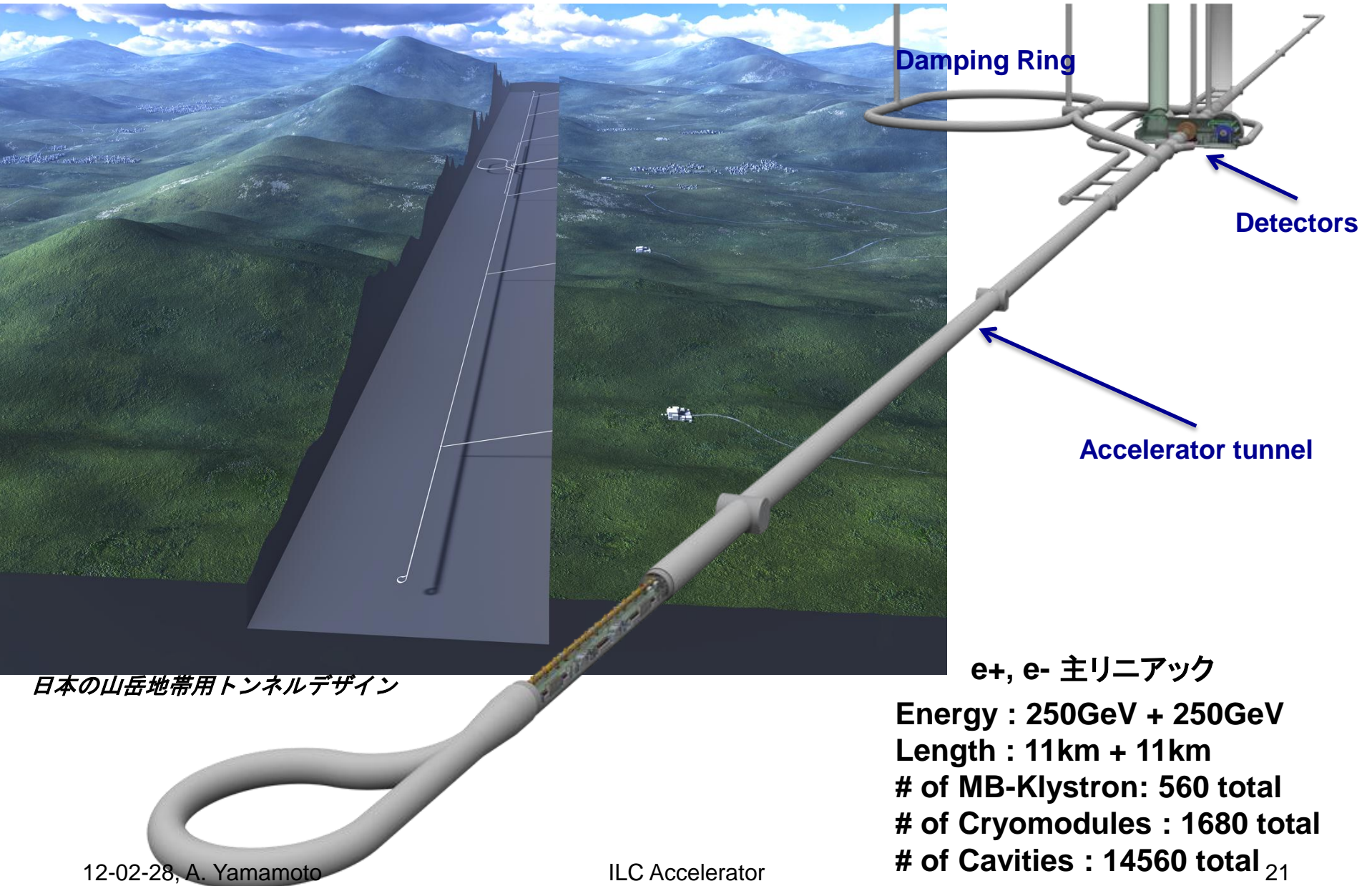
- ILCではアンジュレーターで陽電子をつくる。
- しかしわざわざ陽電子生成のためだけに100GeV以上の高エネルギー電子ビームをつくるのは効率的でない。
- そこで、物理衝突実験のためにつくった電子ビーム(250GeV)を利用して、陽電子も作ってしまう。
- つくられた陽電子は次回の衝突で使用する。

Damping Ring: エミッタンスを減少

- シンクロトロン輻射は悪いことばかりではない
 - 1粒子の輻射電力 \propto (粒子エネルギー)²(磁場)²
 - 高エネルギー粒子ほどエネルギー損失が大きい
⇒ エネルギー幅の減少
- エミッタンスも減少する
 - 輻射によって p_x, p_z が同じ割合で減少
 - p_z の減少は加速によって補われる
 - 輻射の瞬間に位置座標は変らない
⇒ エミッタンス減少



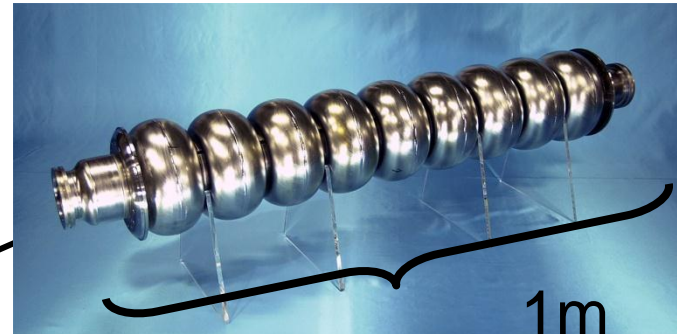
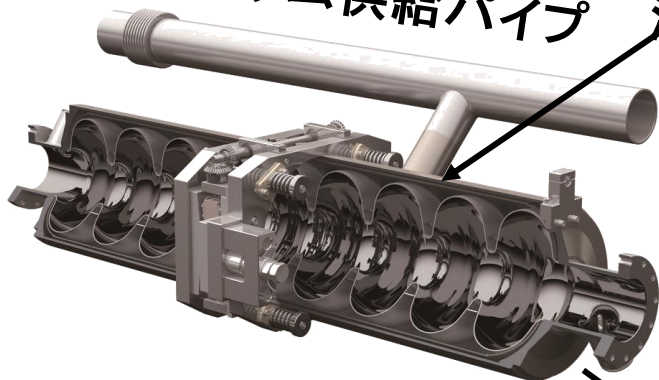
ILC : 主線形加速器



高周波加速装置

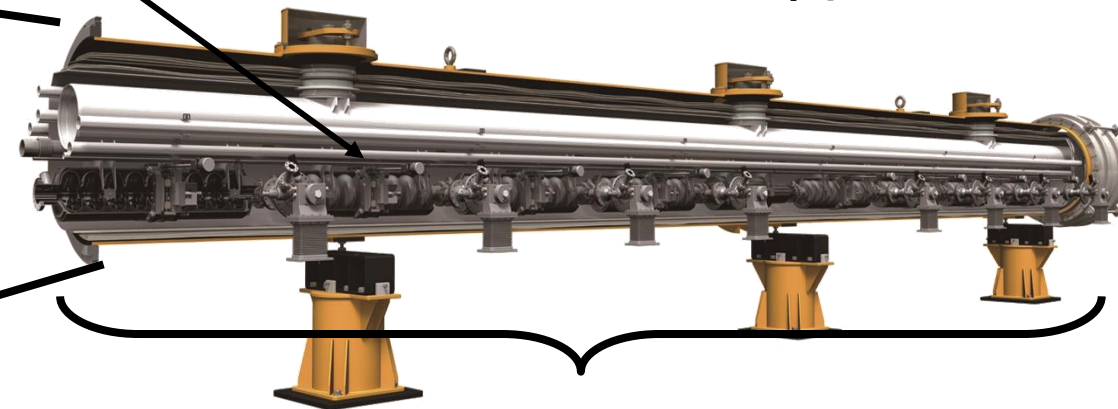
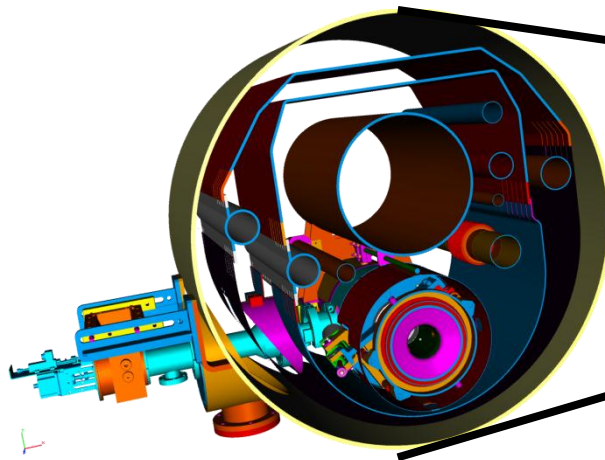
液体ヘリウム供給パイプ

液体ヘリウム容器



~8000台/beam

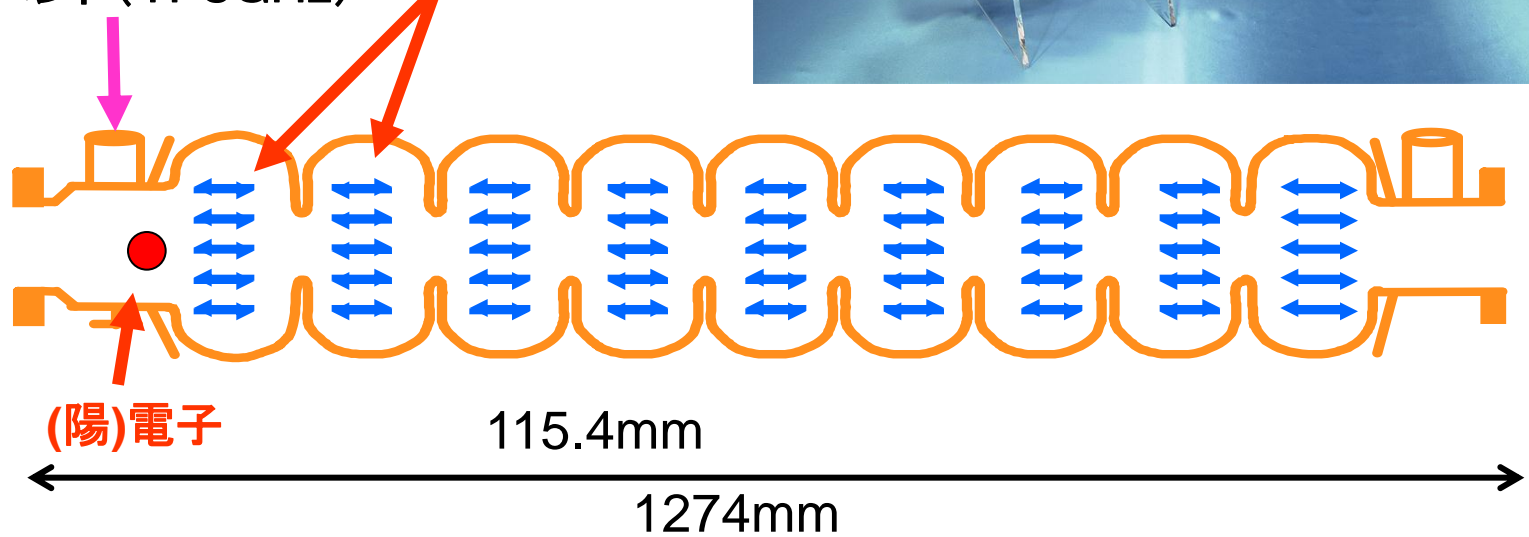
~900台/beam



加速の方法

高周波電力:
Lバンド(1.3GHz)

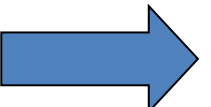
電場



加速度 = 電場強度

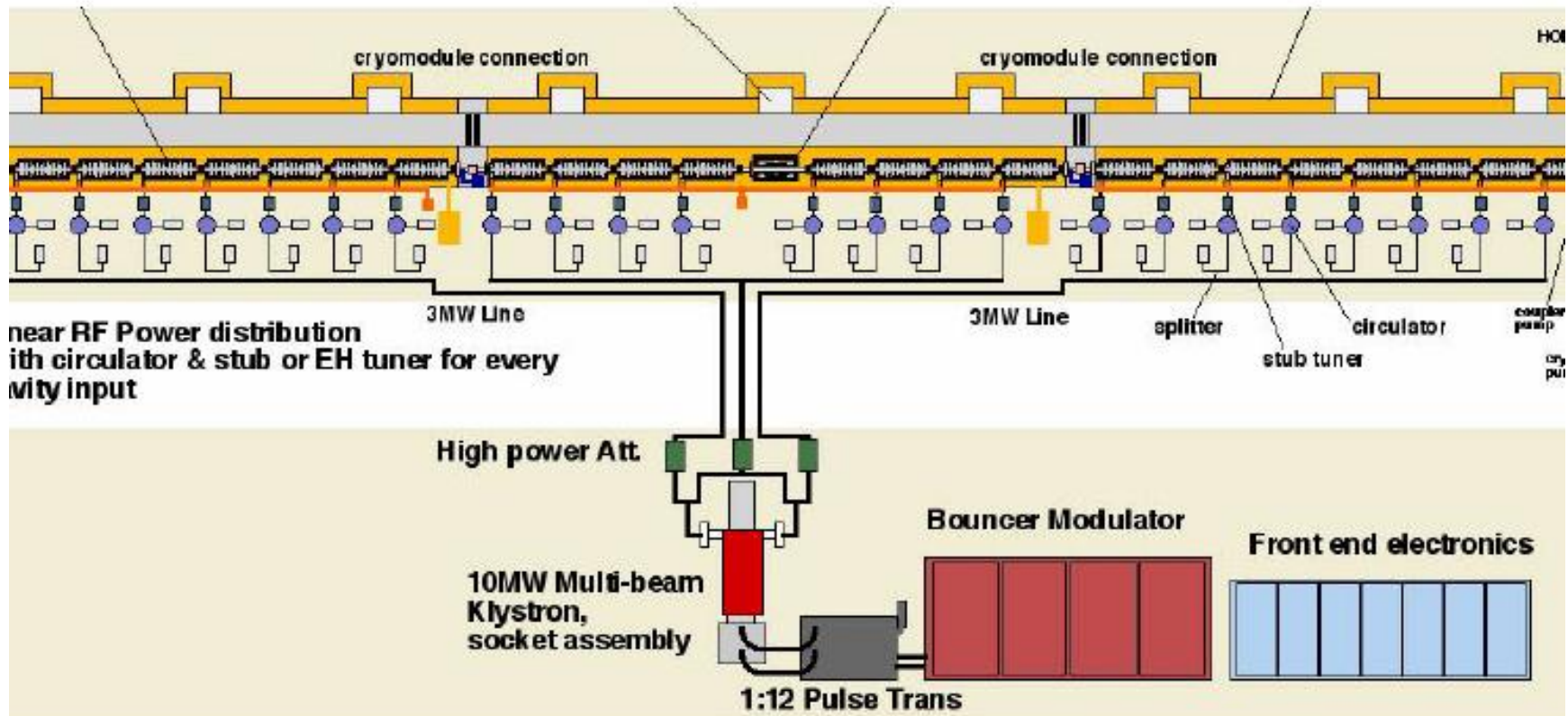
ILCは~30MV/m(0.03GV/m)

超伝導加速空洞



エネルギー効率が高い

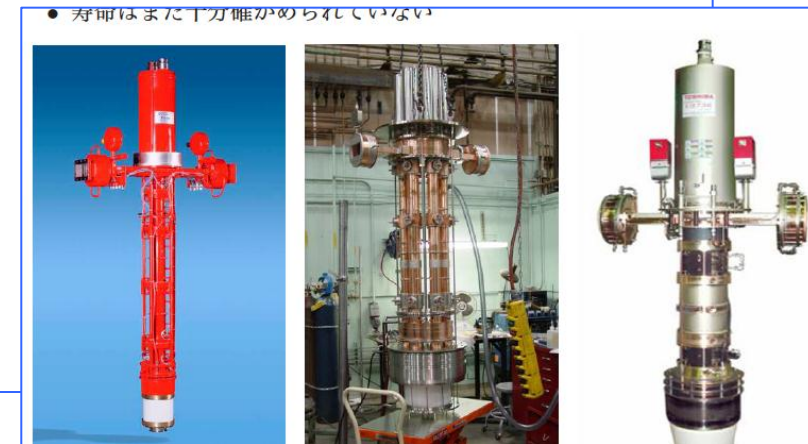
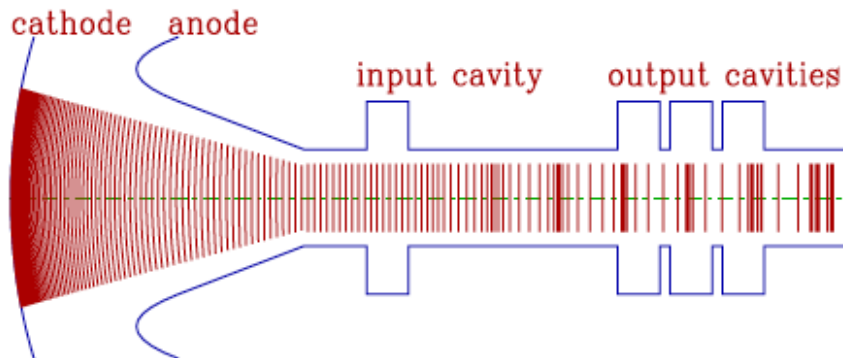
主線形加速器



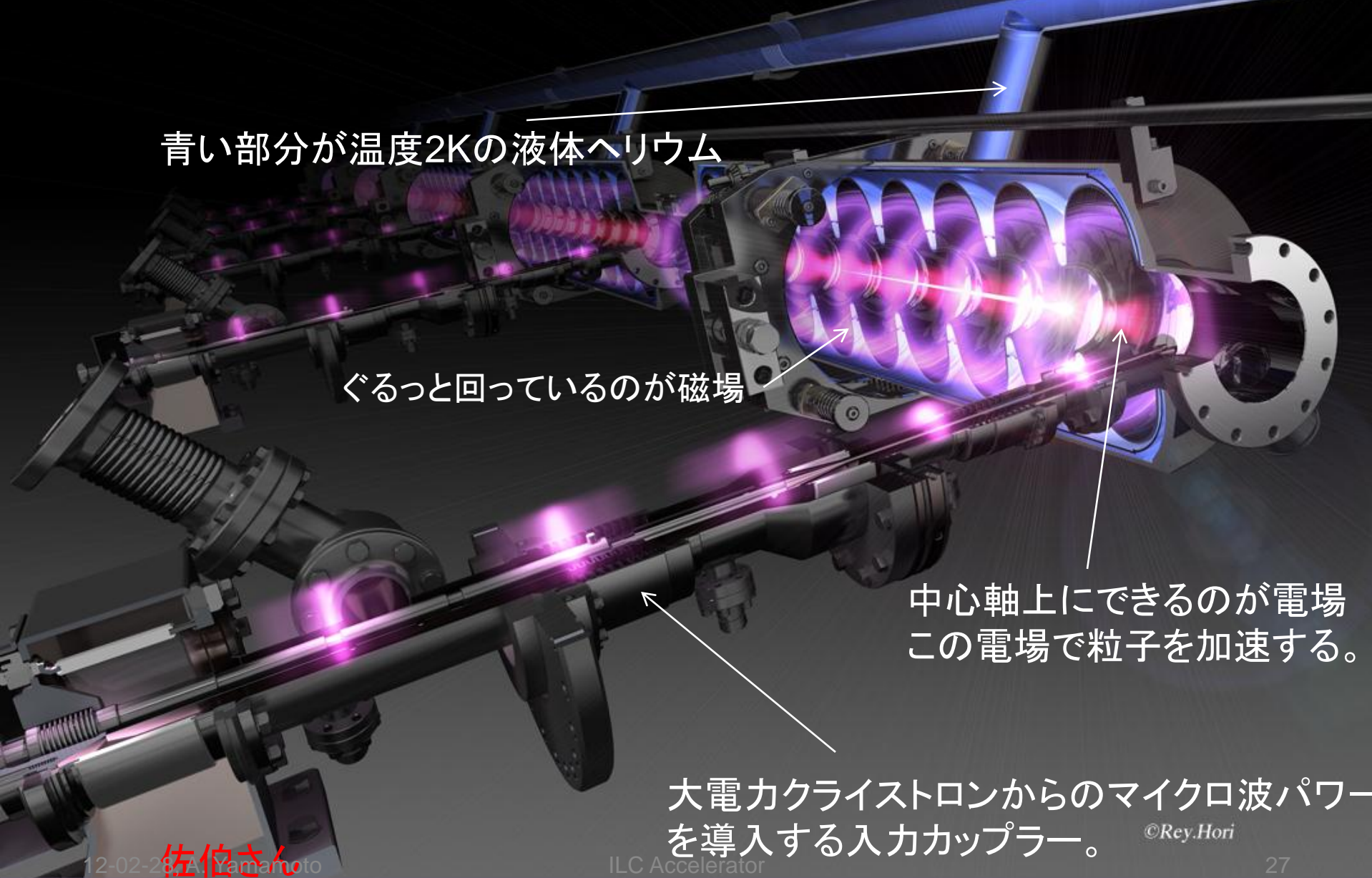
ILC の主線形加速器 1 単位

Klystron: 高周波電力の供給

- 直流電圧からマイクロ波を発生する装置
- 热陰極の直流電圧（パルス）をかけ、電子を発生する
- 弱い入力波で、速度変調をつける
- 適当な距離を走らせると密度に濃淡ができる
- 出力空腔にマイクロ波が発生する
- ILCでは、複数のビームを用いる MBK (Multi-Beam Klystron) を使う。

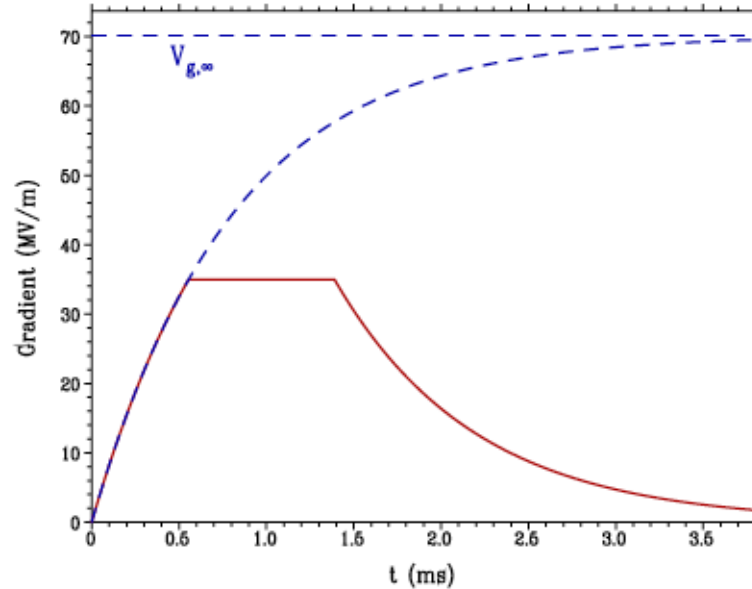


超伝導加速空洞の電磁場の様子



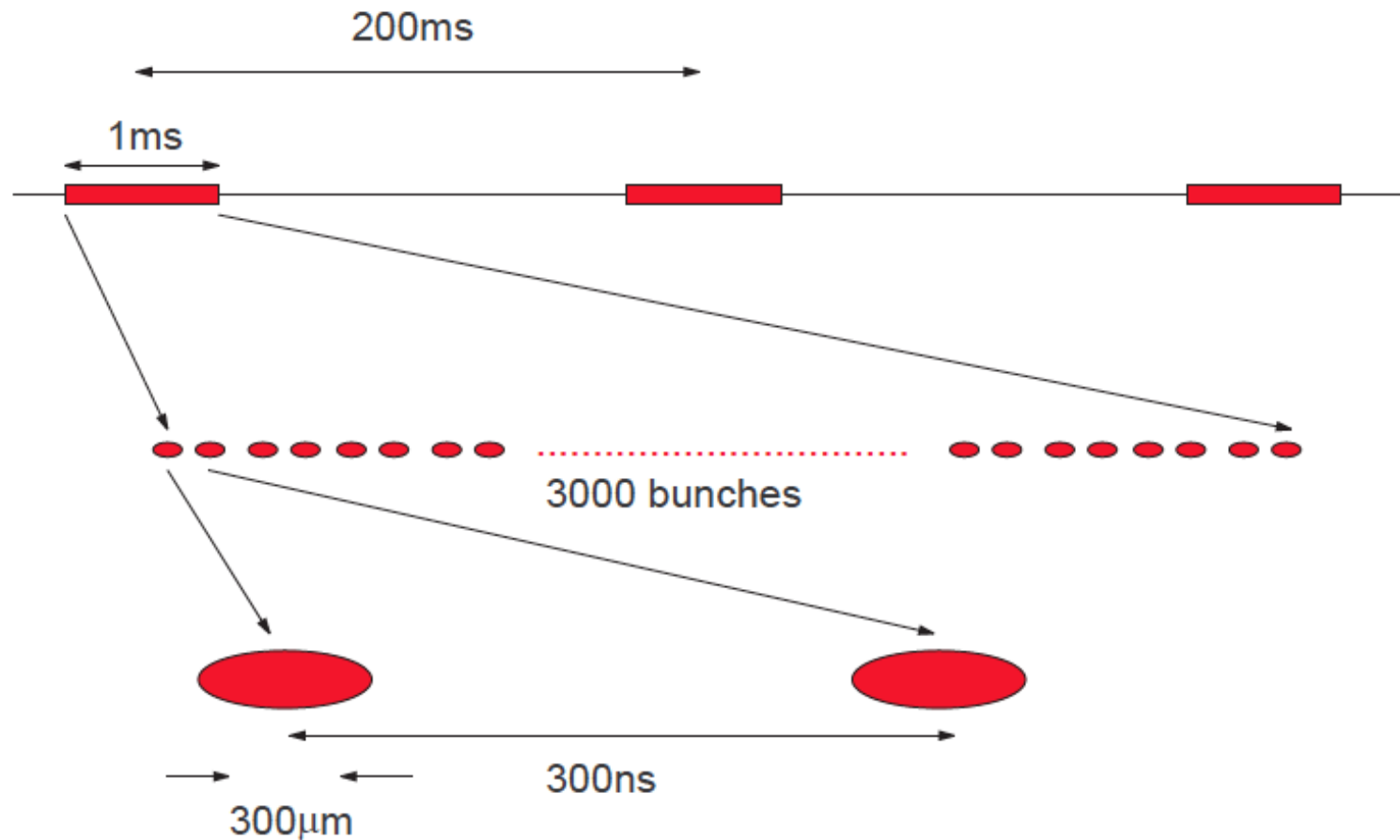
Filling and Loading Pattern

- 空腔をマイクロ波で満たすには時間かかる
- 矩形波を入力すると空腔電圧は指数関数的に上昇する
- あるタイミングである強度のビームを入射すると、ビーム通過中、加速電圧が一定になる。
(加速電圧= V_∞ なら無反射)
- ビーム通過が終わると同時にマイクロ波入力を止める
- 以後が指数関数的に減衰する。
(大部分は反射、一部は壁面を過熱)
- 常伝導と超伝導の決定的な違いは時間のスケール
常伝導： $\mathcal{O}(100\text{ns})$, 超伝導： $\mathcal{O}(1\text{ms})$
- したがって、超伝導ではビームが長い

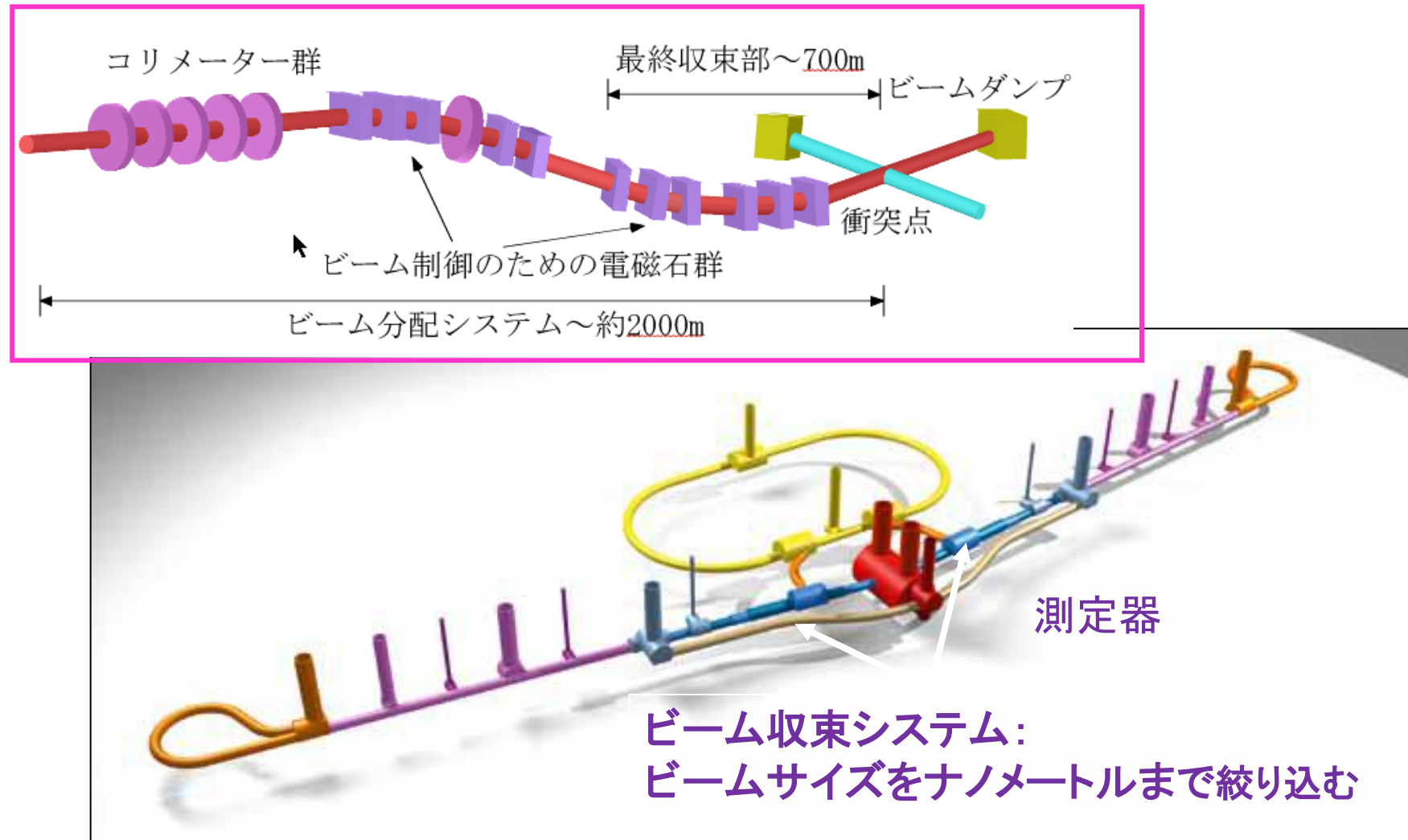


ビームの時間構造：

RFパルス: 1ms, ~3,000 バンチ、繰り返し: 5Hz



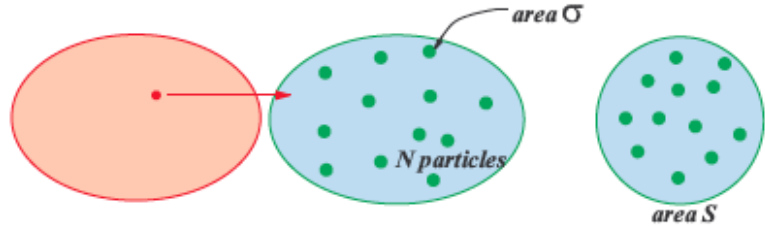
リニアコライダー衝突点でのビーム収束



Luminosity

赤粒子がどれかひとつの緑粒子と当る確率

$$\frac{N\sigma}{S}$$



1秒間の事象数を出すには次の量をかける

N 赤バンチ中の粒子数

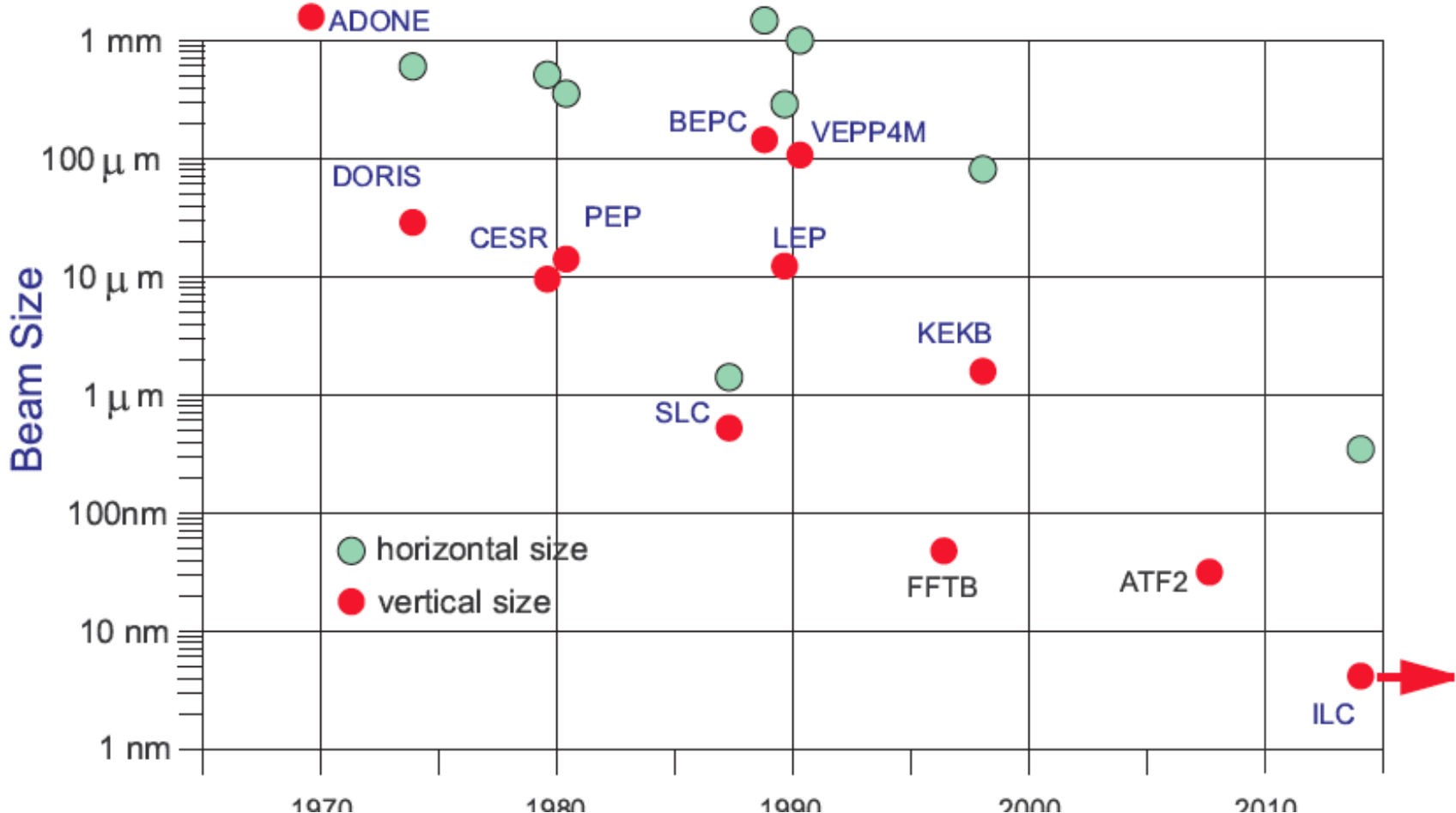
f_{col} 1秒当たりのバンチ衝突回数
⇒ 1秒間の事象数 = $\mathcal{L}\sigma$

$$\mathcal{L} = f_{col} \frac{N^2}{S} = \text{luminosity}$$

Gauss分布なら

$$\mathcal{L} = f_{col} \frac{N^2}{4\pi\sigma_x\sigma_y}$$

e+e- Collider のビームサイズの歴史



ILC Accelerator Baseline Parameters

E_{cm} : adjustable from 200 – 500 GeV

Luminosity: $\int Ldt = 500 \text{ fb}^{-1}$ in the first 4 years ($L \sim 2 \times 10^{34} \text{ cm}^{-2} \text{s}^{-1}$)

e^- beam polarization: 80%

Upgradable: to $\sim 1 \text{ TeV}$ with 1 ab^{-1} / 3-4 years

Options :

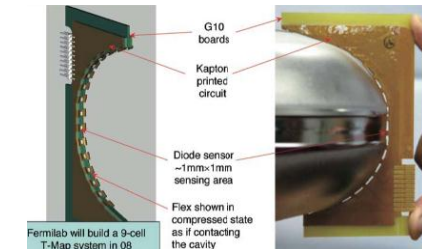
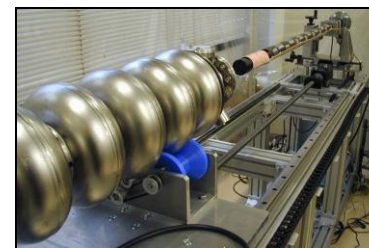
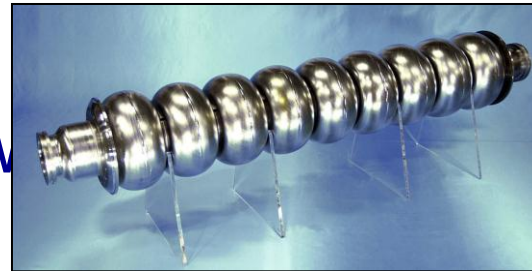
- e^+ polarization >50%
- GigaZ (high luminosity running at M_Z and $2M_W$)
- $\gamma\gamma$, $e\gamma$, e^-e^- collisions

*Choice of options depends on LHC+ILC results

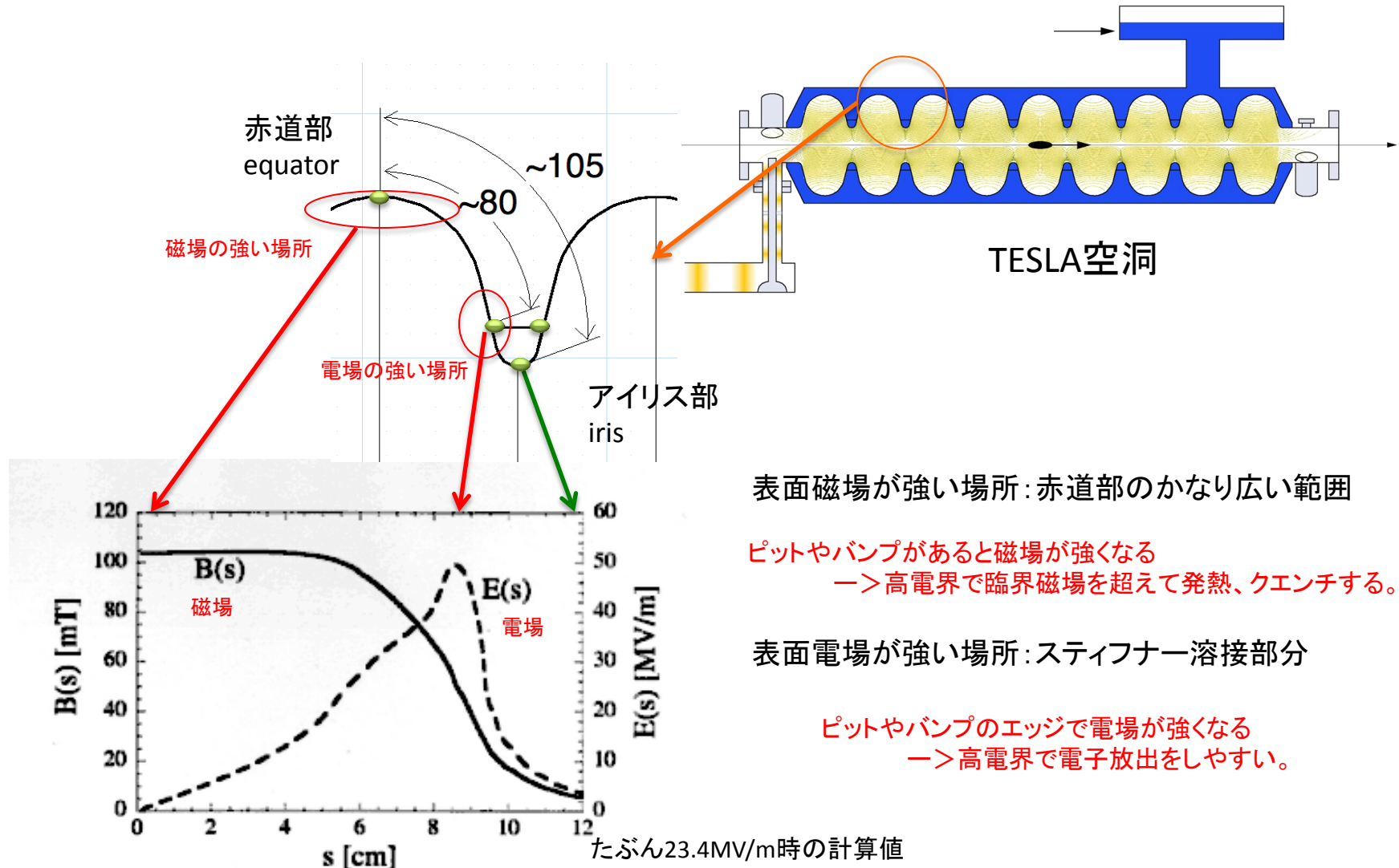
[<http://www.fnal.gov/directorate/icfa/para-Nov20-final.pdf>, Heuer et al]

超伝導加速空洞における開発研究課題

- **製造 :**
 - Forming and welding (EBW)
- **表面処理**
 - Chemical etching
 - Electro-polishing
 - Cleaning
 - Ethanol, Detergent, Micro-EP
 - High pressure water rinsing
- **測定**
 - Optical Inspection (warm)
 - Thermometry (cold)



空洞内面の表面磁場強度、表面電場強度の分布



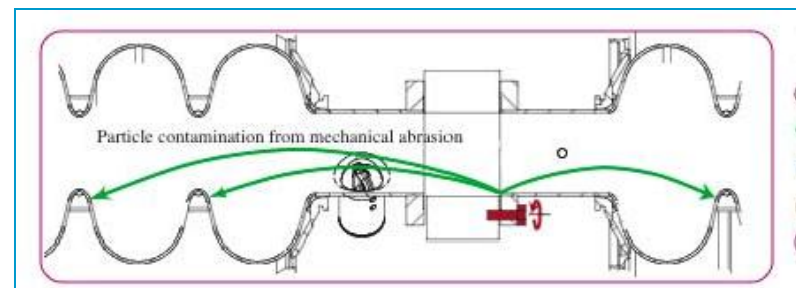
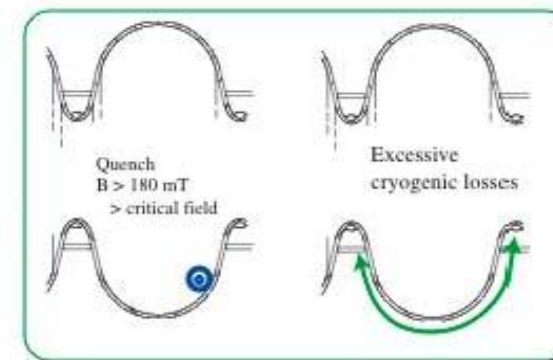
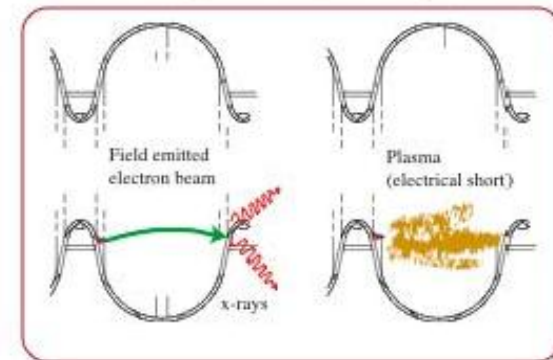
Distribution of the magnetic and electrical field from equator to the iris on the surface of the TESLA cavity

35MV/m時はこのグラフ値の1.5倍

Why Field Gradient Limited in SC Cavity ?

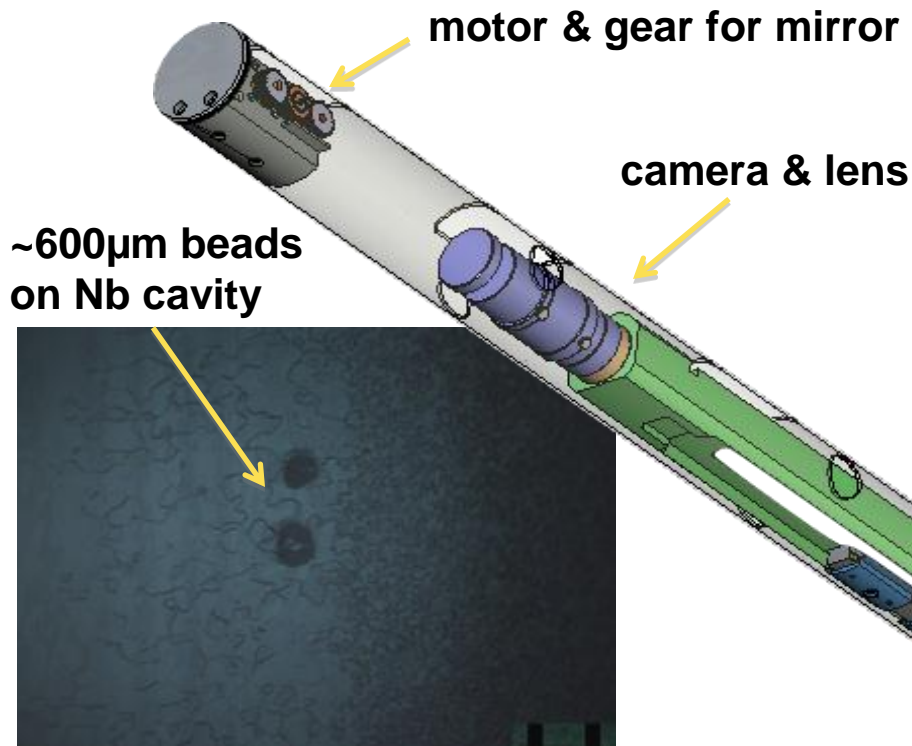
Current major reasons

- **Field Emission**
 - due to high **electric field**
 - around “Iris”
- **Quench**
 - caused by surface heating from dark current, or
 - **magnetic field** penetration.
 - around “Equator”
- **Contamination**
 - during assembly



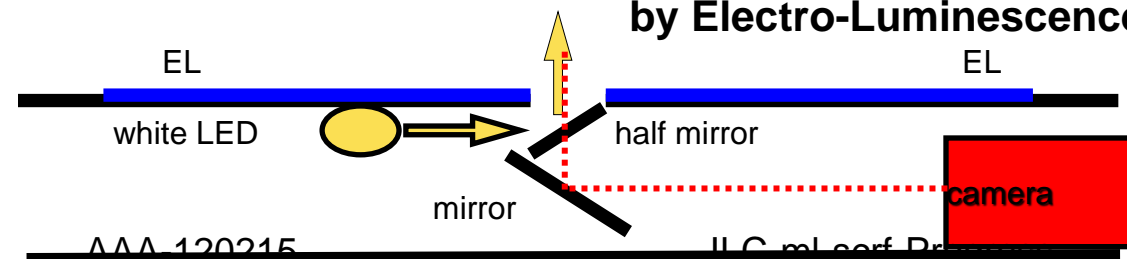
New High Resolution, Optical Inspection System

For visual inspection of cavity inner surface.



perpendicular illumination
by LED & half mirror

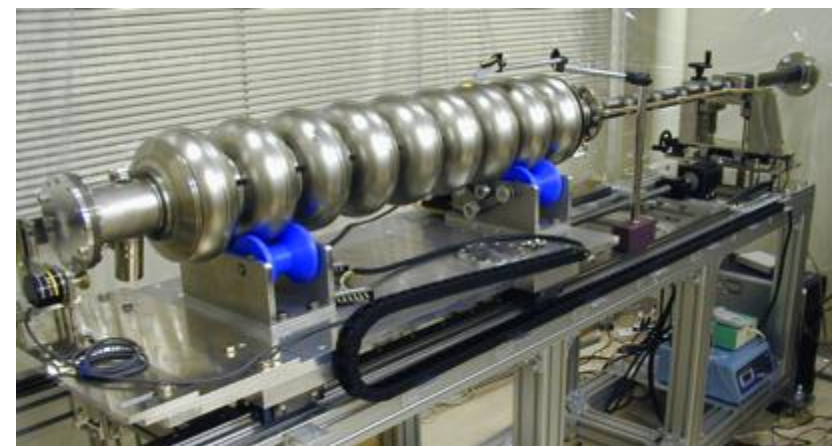
tilted sheet illumination
by Electro-Luminescence



AAA 120215,

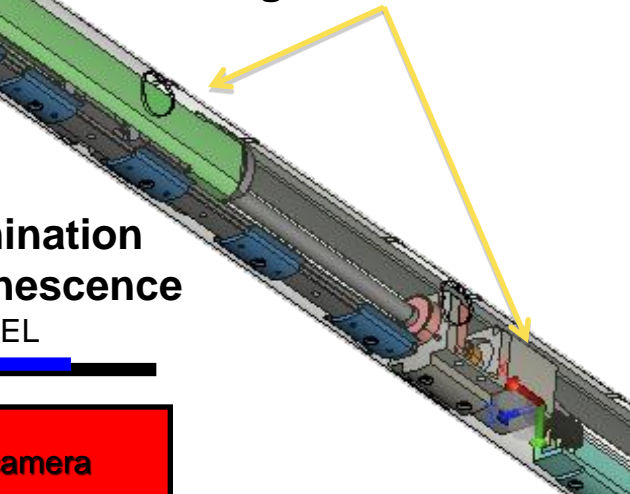
Yamamoto

ILC ml conf Proj



Camera system (7μm/pix)
in 50mm diameter pipe.

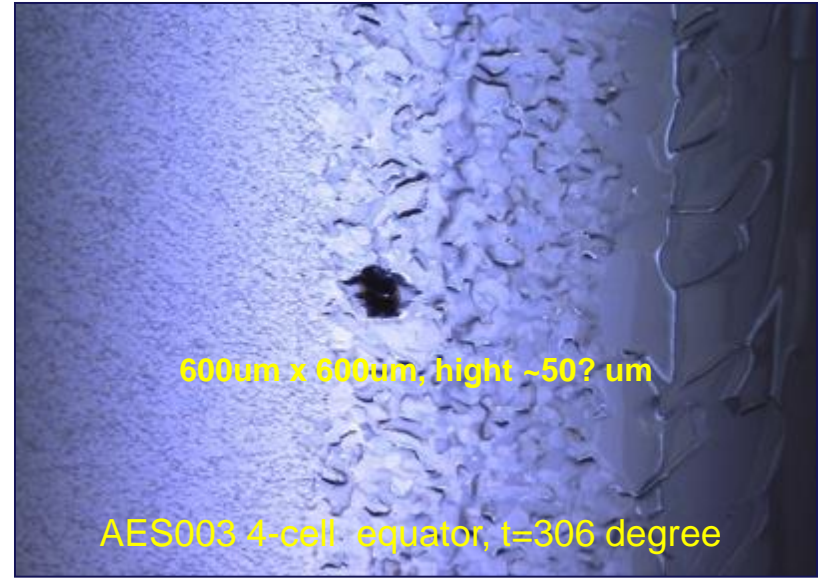
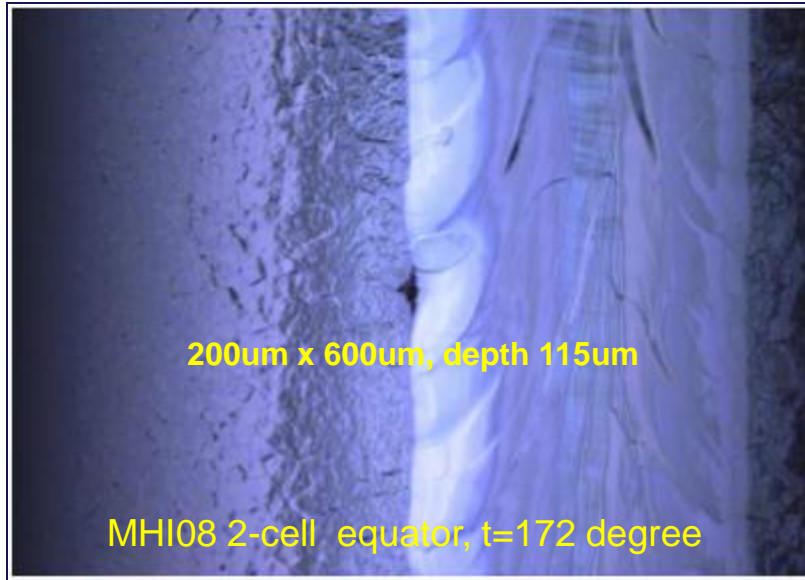
sliding mechanism of camera



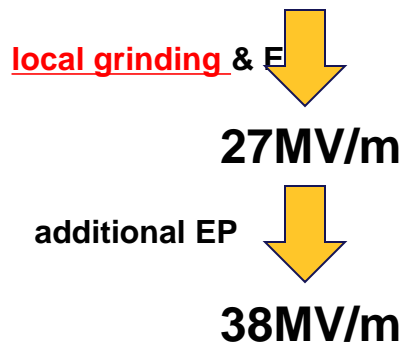
37

Iwashita (Kyoto) and Hayano (KEK) et al.

Local grinding of quench location

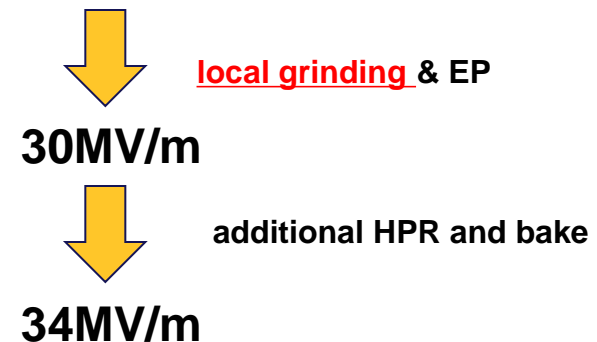


Pit; appeared after bulk EP,
limit to 16MV/m



AAA-120215,
Yamamoto

Bump at heat affecting zone,
limit to 20MV/m



空洞製造・成功率の進展

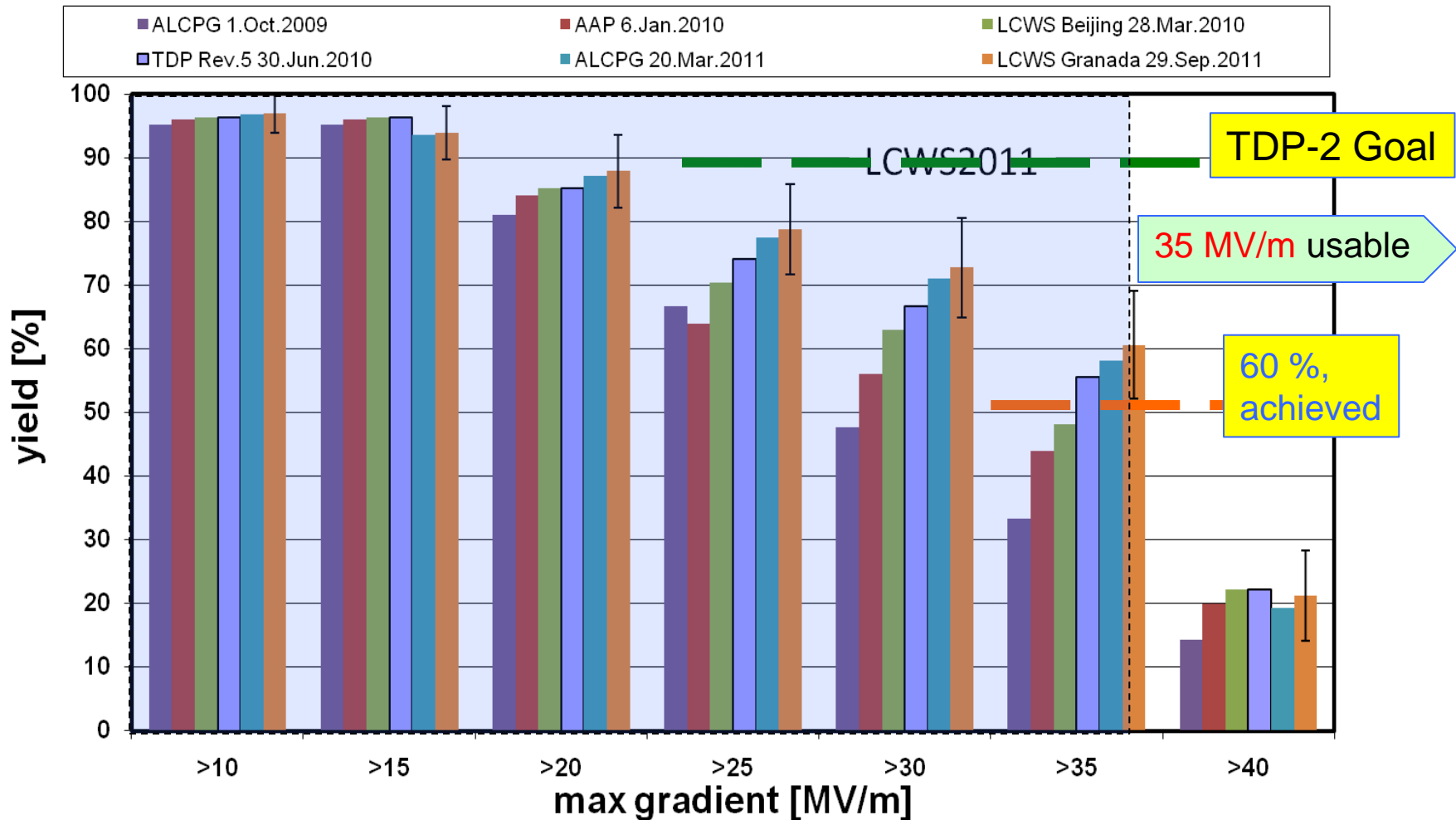
Updated, Sept., 2011



Electropolished 9-cell cavities

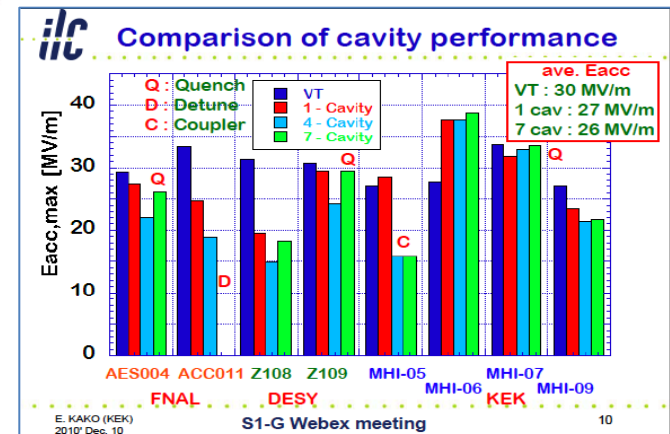
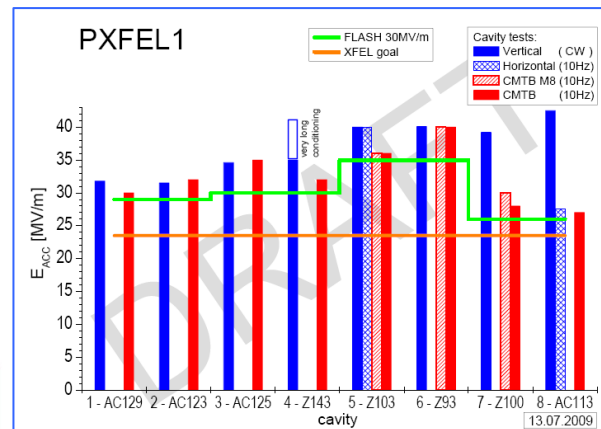
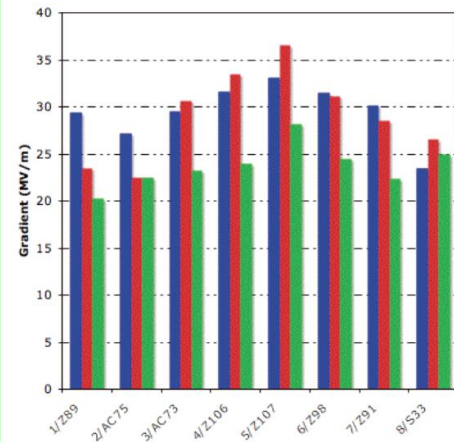
/KEK (combined) up-to-second successful test of
cavities from established vendors

Plot courtesy
Camille Ginsburg of FNAL



Cryomodule Development & Test

- FLASH (DESY)
 - **<32 MV/m>** in CM operation, PXFEL-1
 - **< 30 MV/m>** in FLASH operation
- NML-CM1 (Fermi)
 - < 24 MV/m in CM
- STF: S1-Global (KEK)
 - Global effort
 - DESY/INFN/FNAL/SLAC/K EK
 - <26 MV/m> in CM

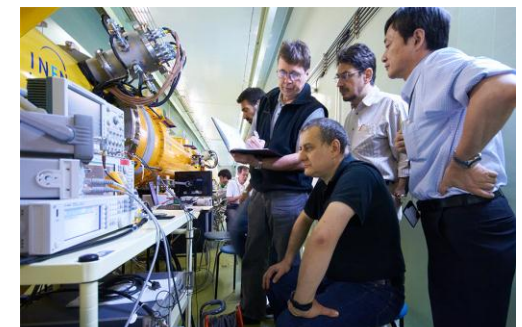
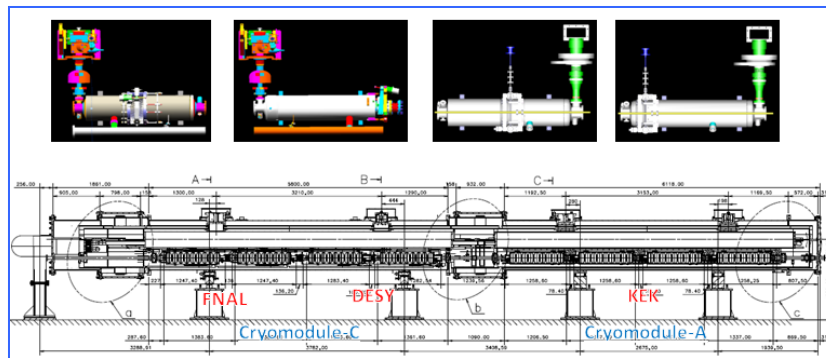
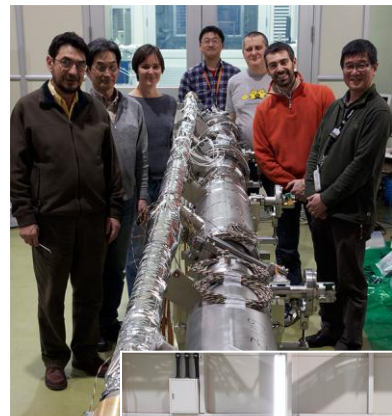


S1-Global Assembly/Test with Global Effort



DESY, FNAL, Jan., 2010

DESY, Sept. 2010



FNAL & INFN, July, 2010

INFN
and
FNAL
Feb.
2010

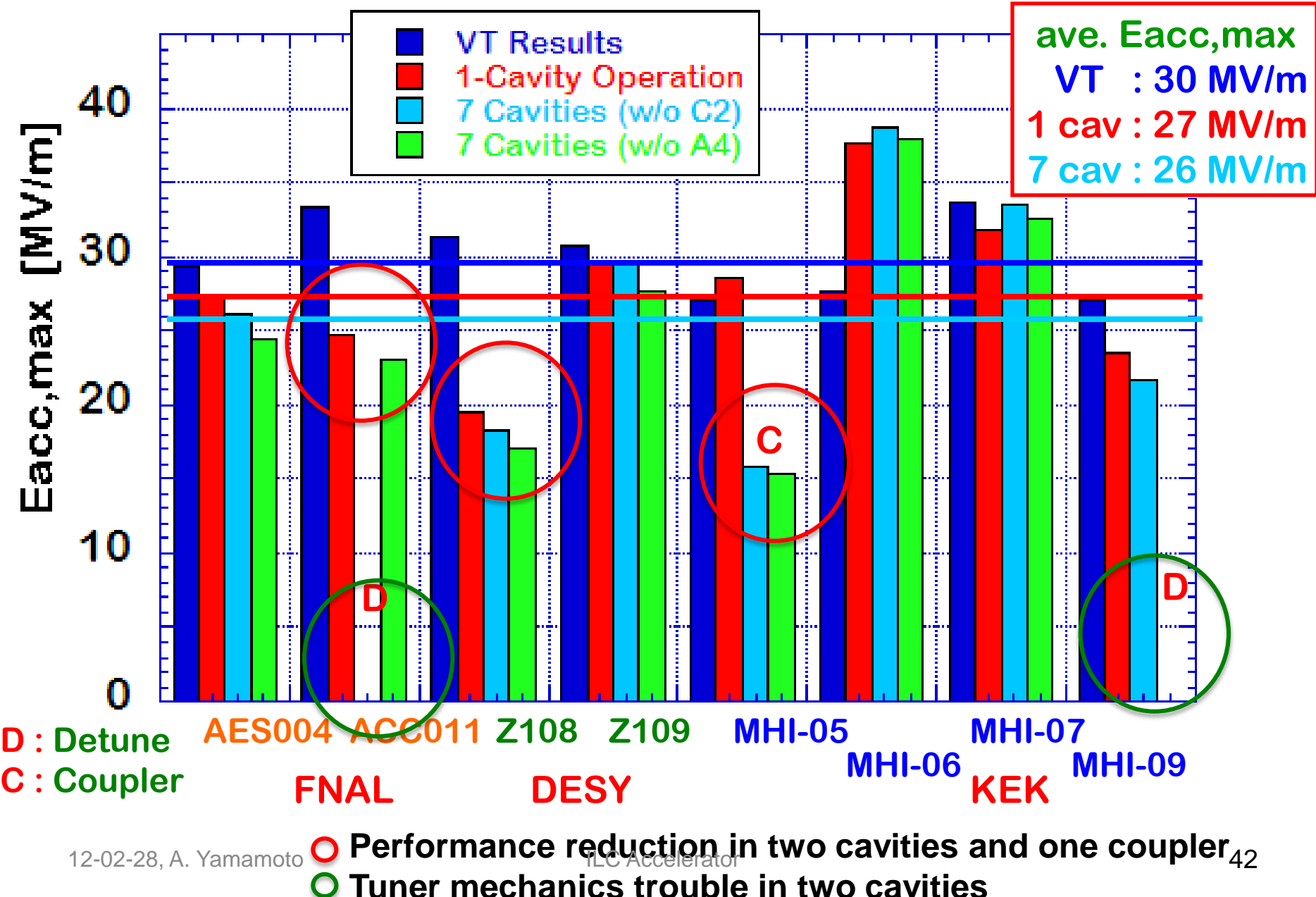


March, 2010

DESY, May, 2010

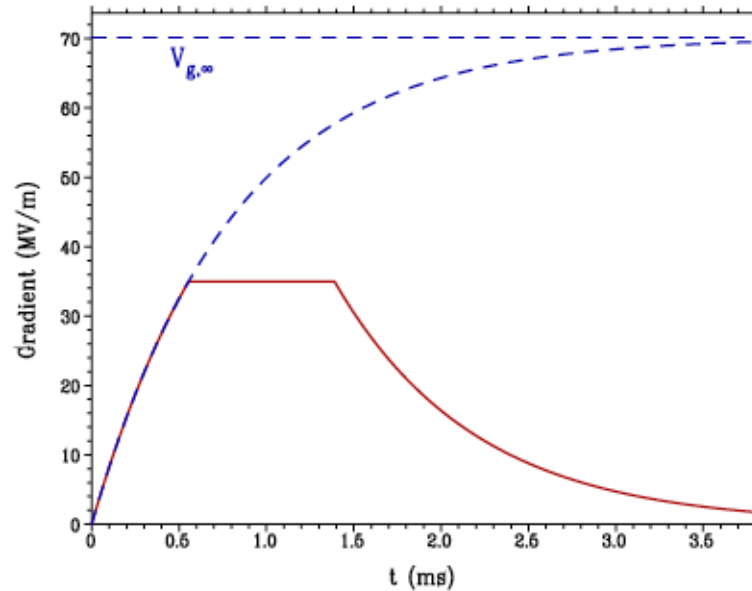
June, 2010 ~

S1-Global における空洞性能の経過



Filling and Loading Pattern

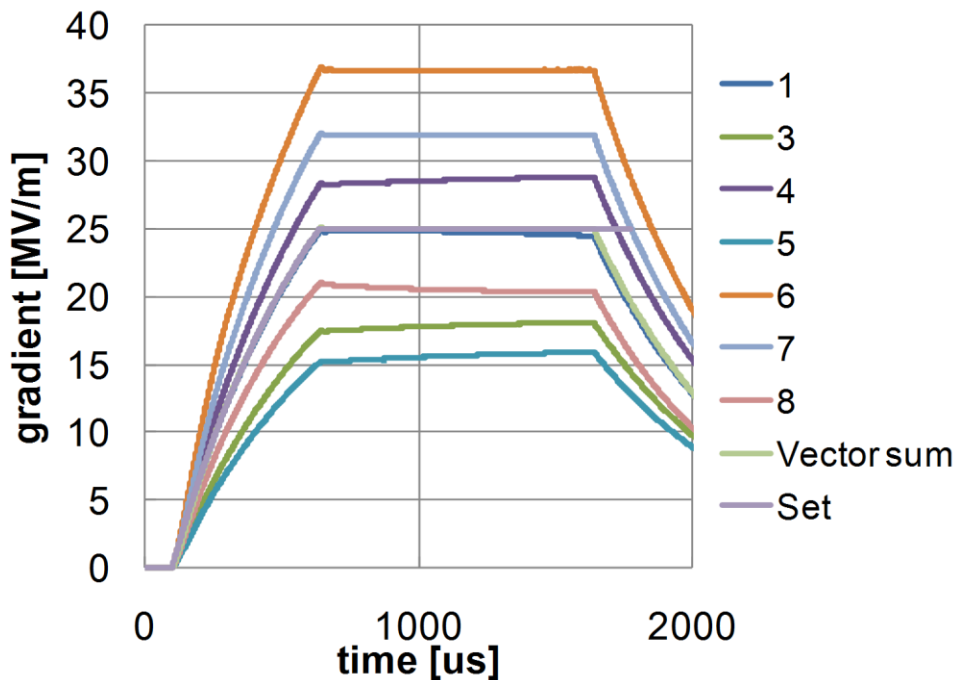
- 空腔をマイクロ波で満たすには時間かかる
- 矩形波を入力すると空腔電圧は指数関数的に上昇する
- あるタイミングである強度のビームを入射すると、ビーム通過中、加速電圧が一定になる。
(加速電圧= V_∞ なら無反射)
- ビーム通過が終わると同時にマイクロ波入力を止める
- 以後が指数関数的に減衰する。
(大部分は反射、一部は壁面を過熱)
- 常伝導と超伝導の決定的な違いは時間のスケール
常伝導： $\mathcal{O}(100\text{ns})$, 超伝導： $\mathcal{O}(1\text{ms})$
- したがって、超伝導ではビームが長い



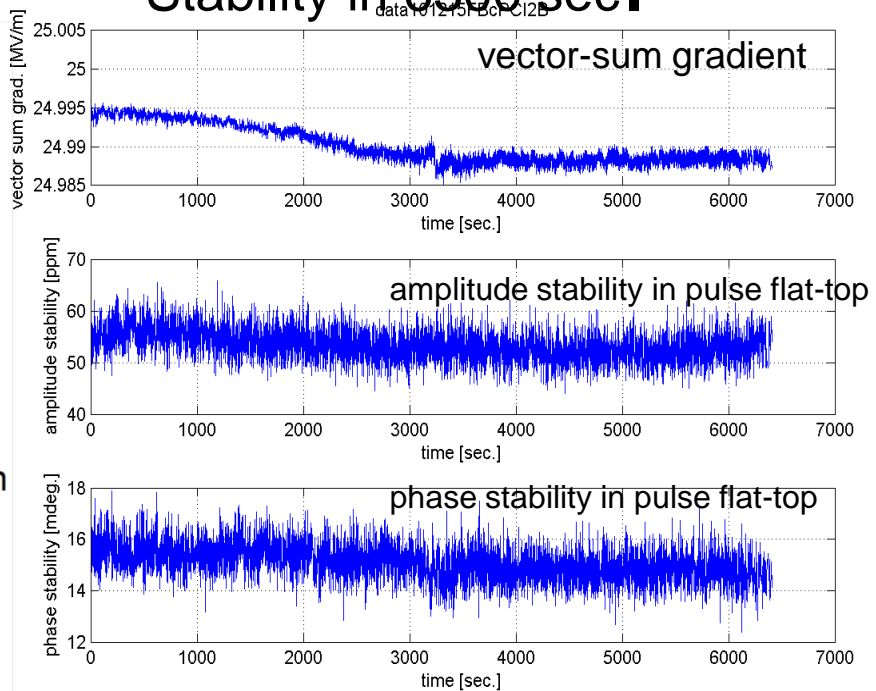
S1-Global : 7連空洞システム運転実績

LLRF stability study with 7 cavities operation at 25MV/m

Field Waveform of each cavity



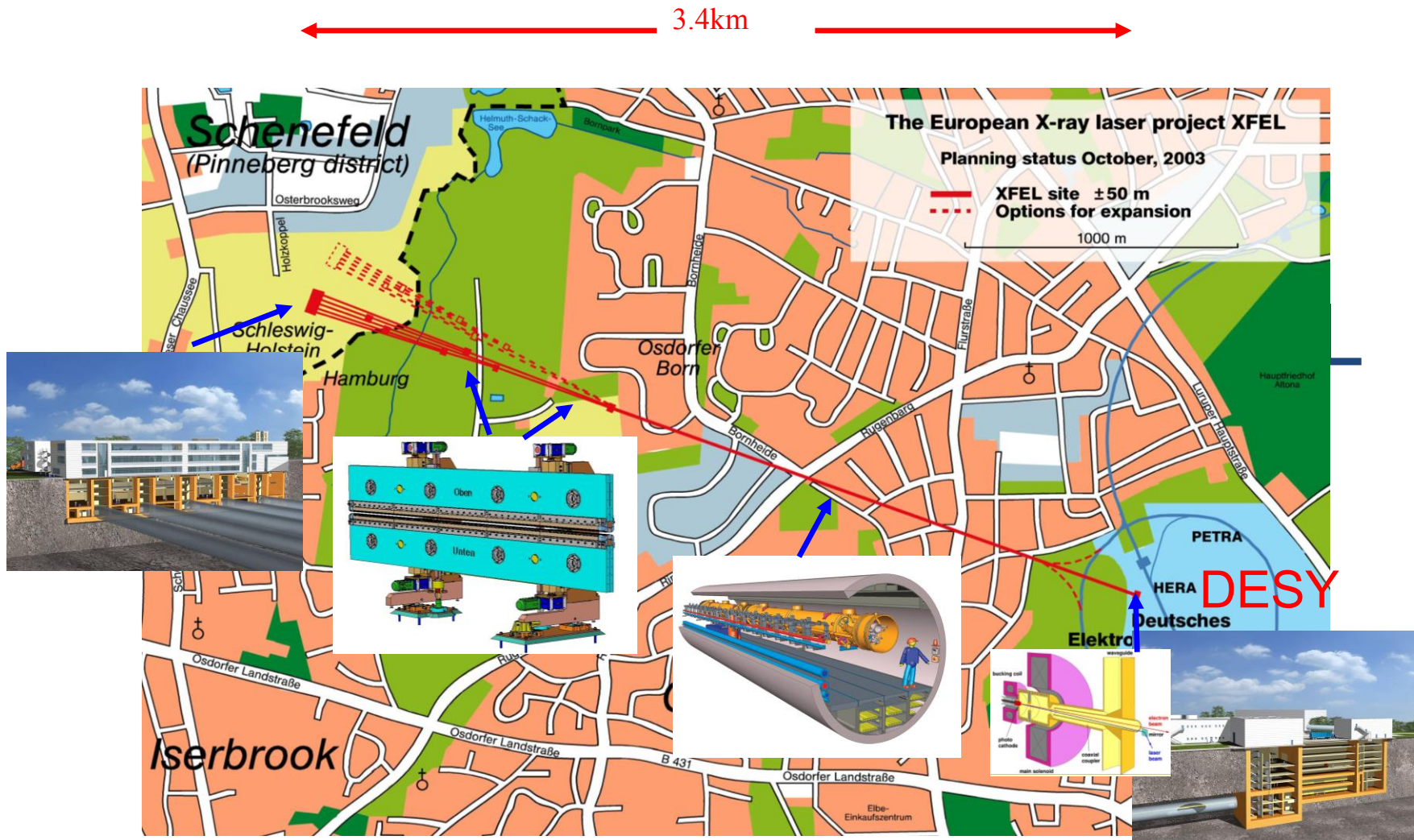
Stability in 6300 sec.



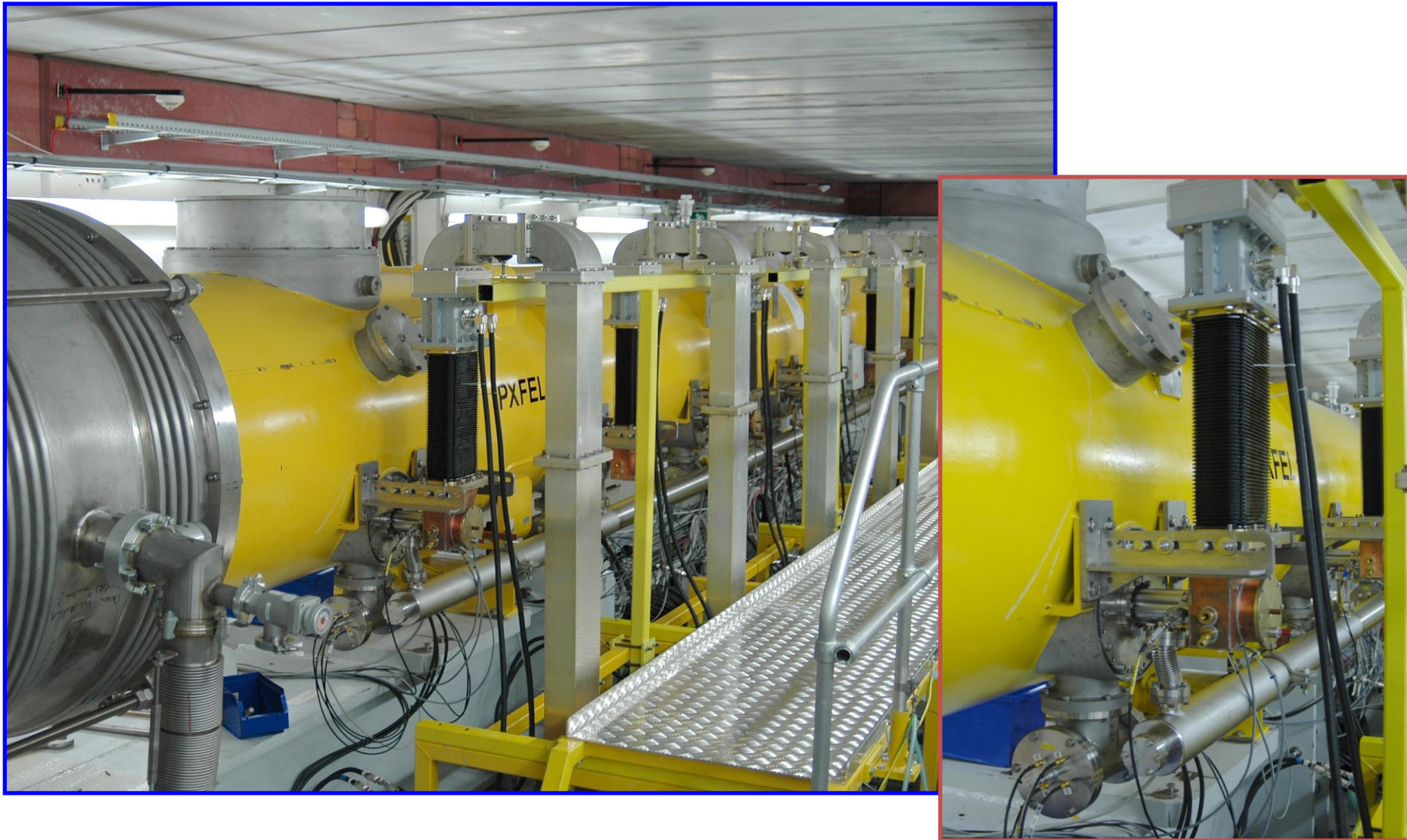
- Vector-sum stability: $24.995\text{MV/m} \sim 24.988\text{MV/m}$ ($\sim 0.03\%$)
- Amplitude stability in pulse flat-top: $< 60\text{ppm} = 0.006\%\text{rms}$
- Phase stability in pulse flat-top: $< 0.0017 \text{ degree.rms}$

EuropeanXFEL Facility

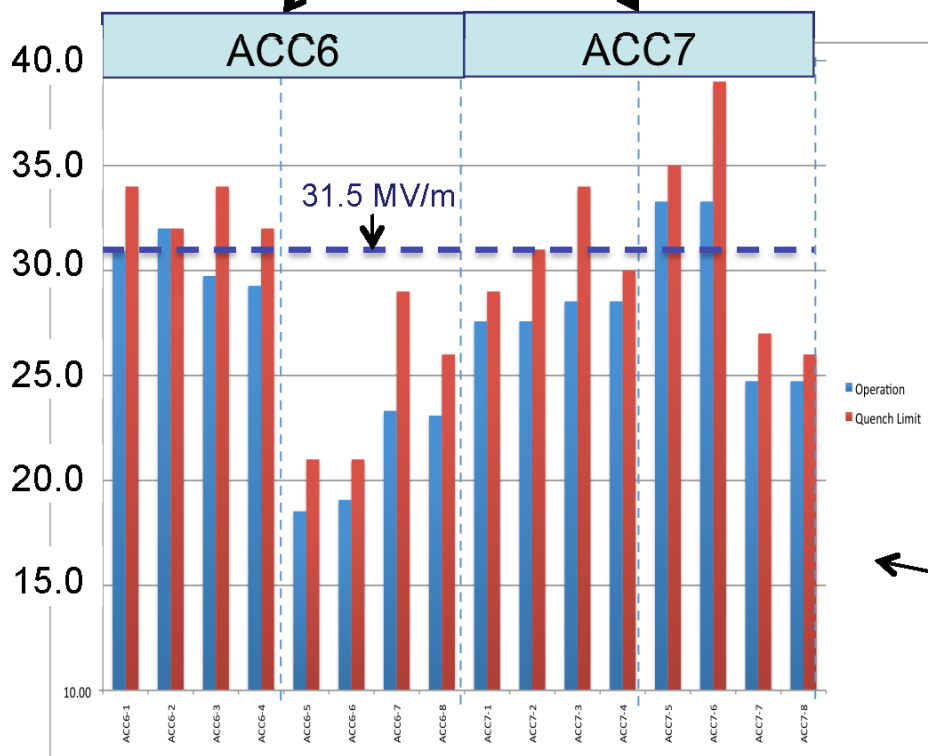
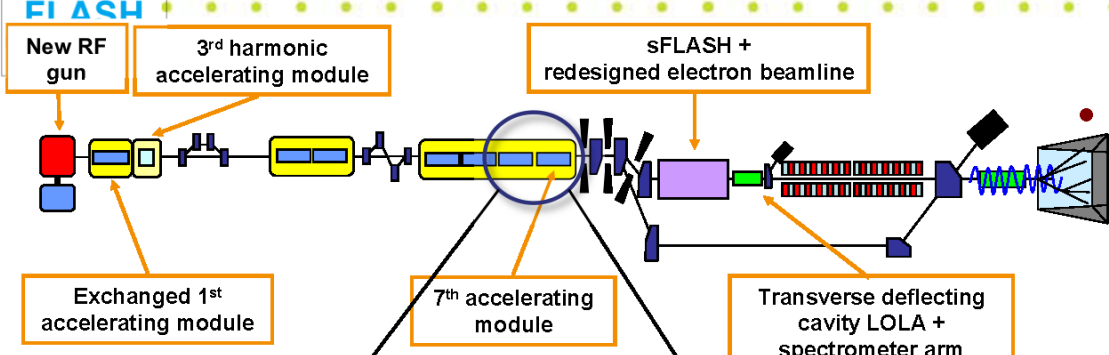
Introduction



FLASH: Cryo Module Test Bench



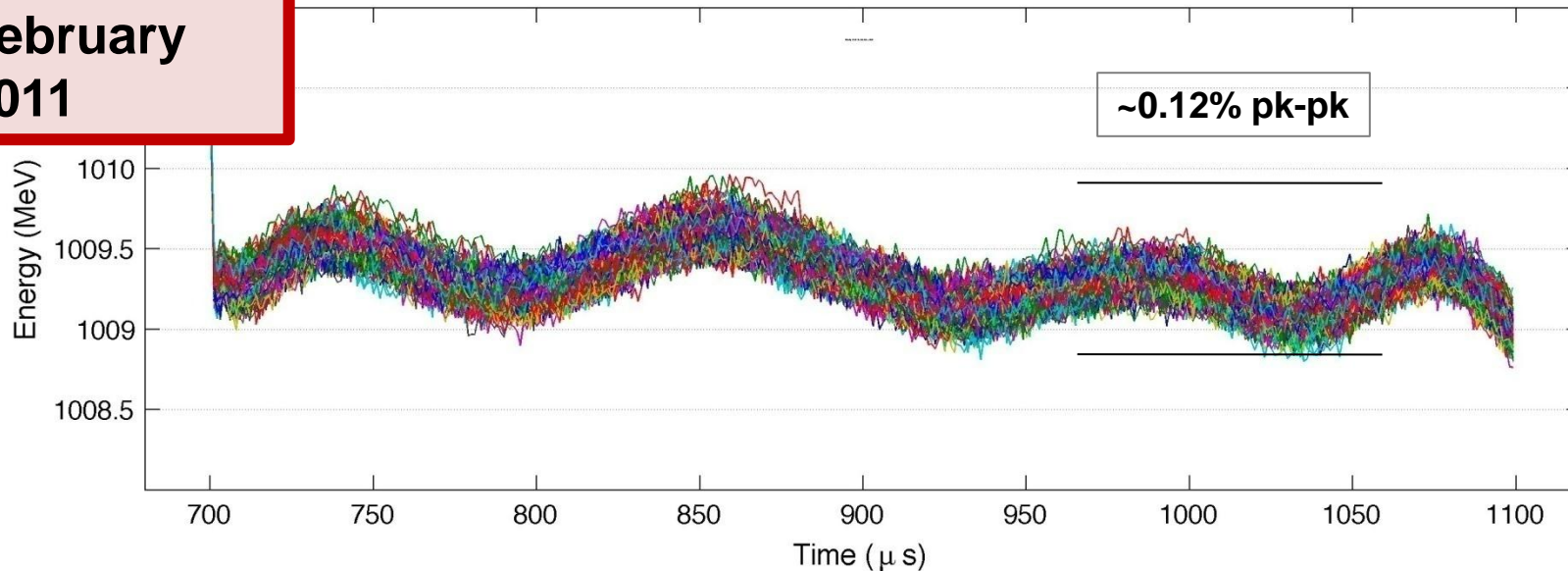
Main TDP R&D goal driving the 9mA studies in February 2011



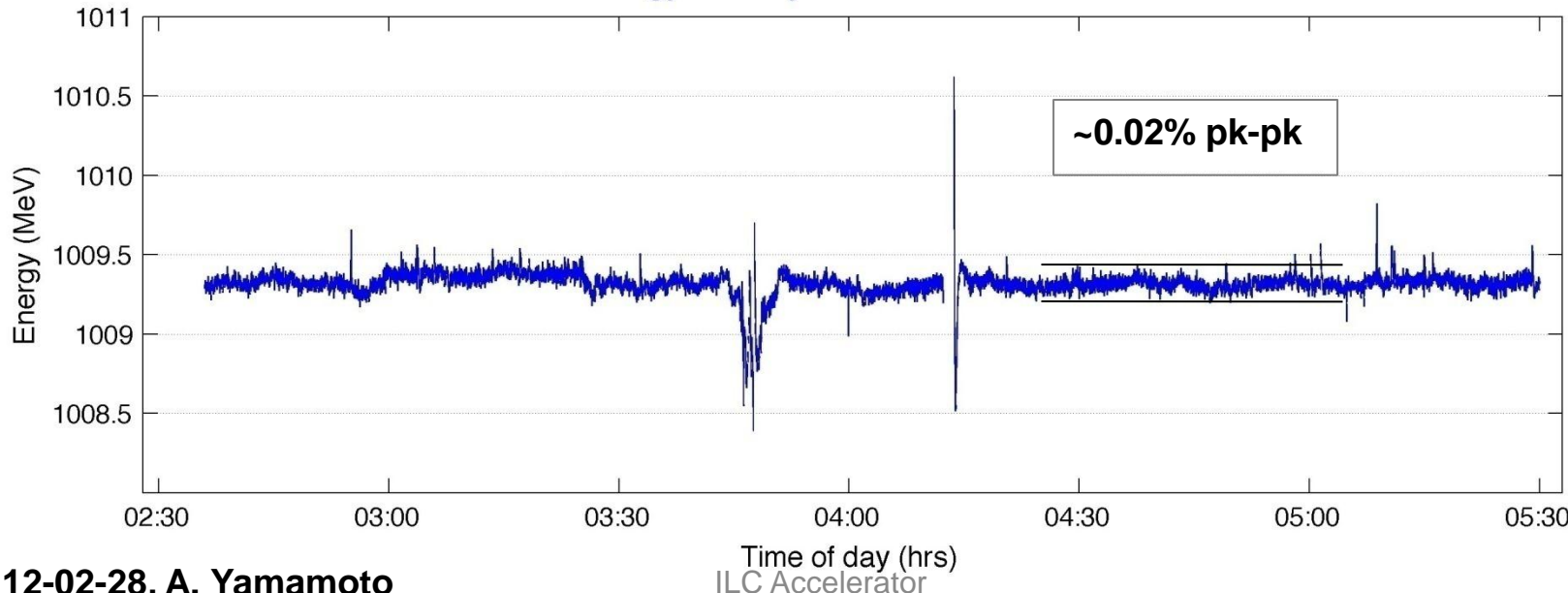
- Operation with Gradient Spread
 - From single RF source
- Specifically: achieving constant gradients for each individual cavity during beam pulse
 - to within few percent
 - close to gradient limits
 - ‘Effective usable gradient’
- ACC67 modules at FLASH have operating gradient spread around +/-25%

FLASH:
February
2011

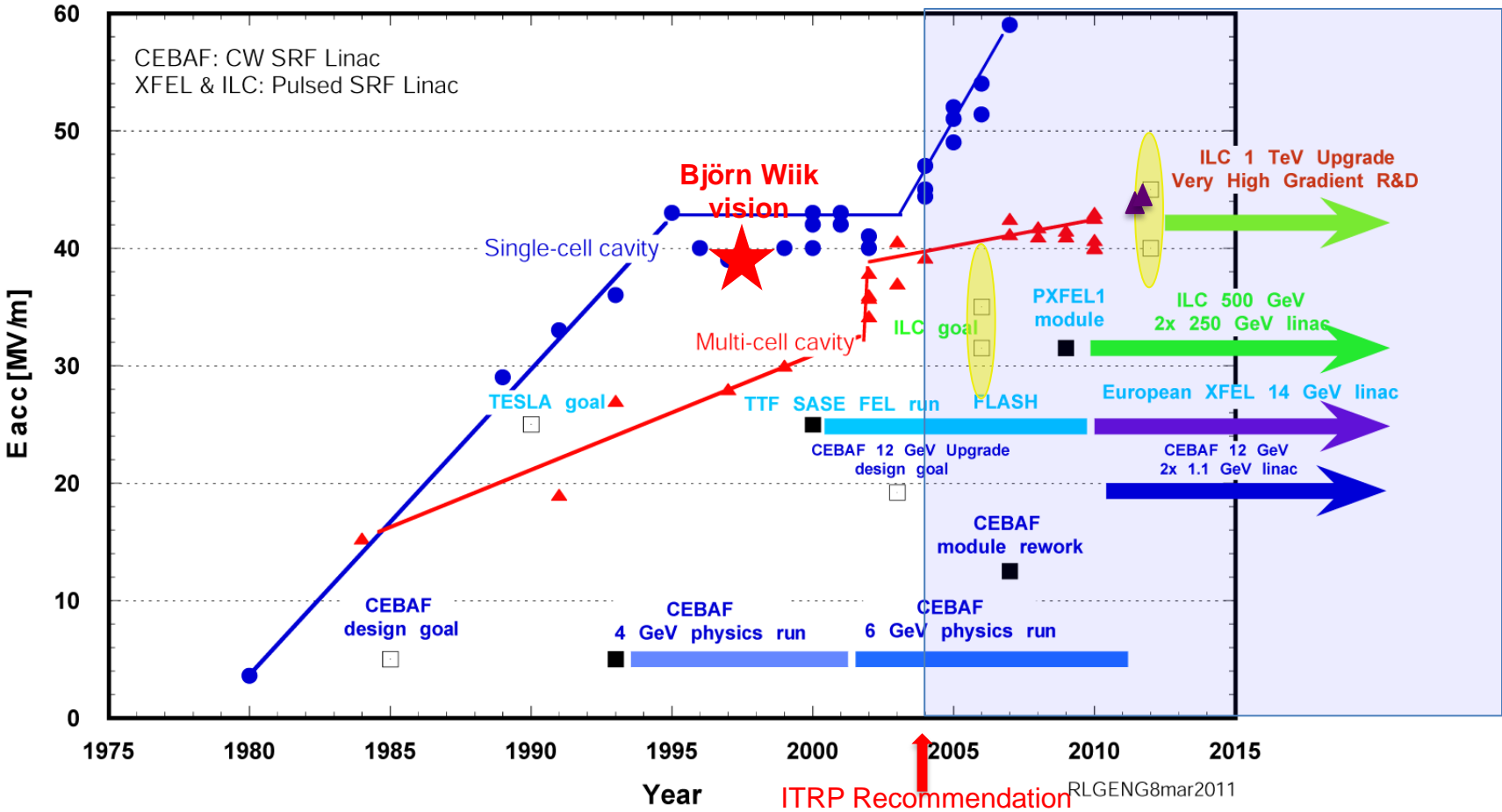
Energy stability over a $400\mu\text{s}$ bunch-train with 4.5mA



Energy stability over 3hrs with 4.5mA



超伝導加速空洞性能、プロジェクトの進展



- Continued progress in SRF gradient : breakthrough of 45 MV/m in 1-cell, ~60 MV/m record; 45 MV/m in 9-cell
 - GDE began in 2005: produce a design for ILC and coordinate worldwide R&D efforts
 - New SRF Test Facilities in operation: STF at KEK and NML at Fermilab
 - Upgrade of CEBAF to 12 GeV underway at Jefferson Lab (80 cavities)
 - FLASH operation and construction of European XFEL underway (640 cavities)

ILC-TDR: 技術設計書の完成にむけて

2007



Reference
Design Report

2011



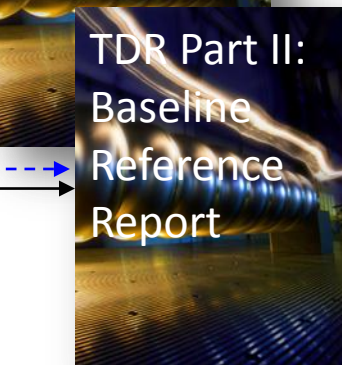
ILC Technical
Progress Report
("interim report")

2013*



TDR Part I:
R&D

~250 pages
Deliverable 2



TDR Part II:
Baseline
Reference
Report

~300 pages
Deliverables
1,3 and 4

2012 年末、完成予定

Technical Design
Report

* end of 2012 – formal
publication early 2013

GDE: ILC Timeline

